

Bayerisches Zentrum für
Angewandte Energieforschung e.V.

Korrelation von Festkörperwärmeleitung und Steifigkeit bei Polyurea Aerogelen mit variabler Mikrostruktur

L.Weigold, F. Hemberger, K.Swimm, S. Vidi

Tagung des AK Thermophysik am 3./4. Mai 2012 in Graz

MIT SONNE UND VERSTAND.

© ZAE Bayern



ZAE BAYERN

Bayerisches Zentrum
für Angewandte
Energieforschung

VORTRAGSÜBERSICHT

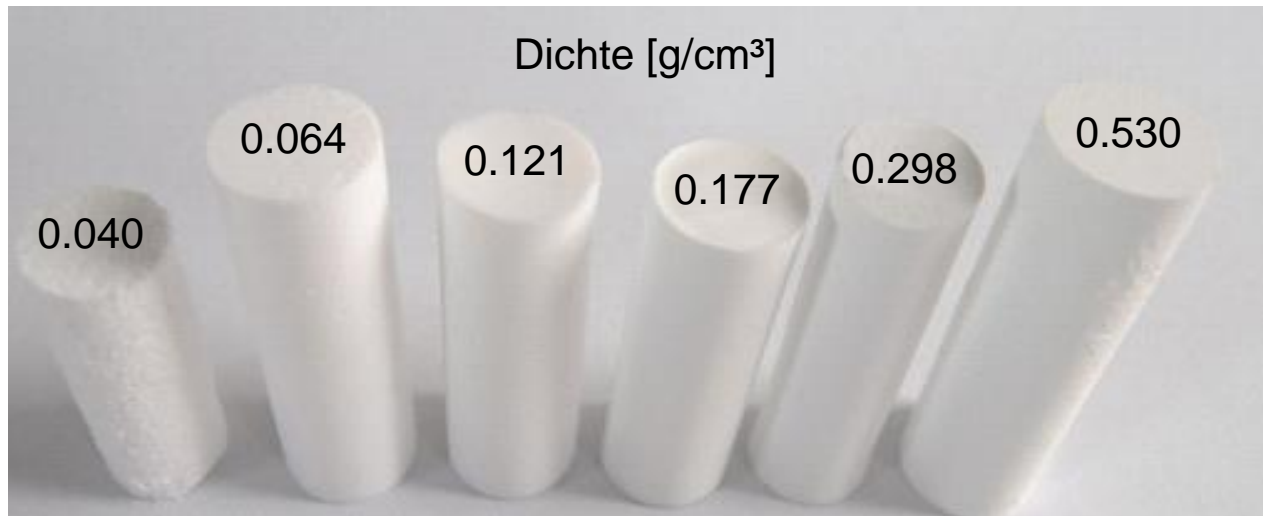


ZAE BAYERN

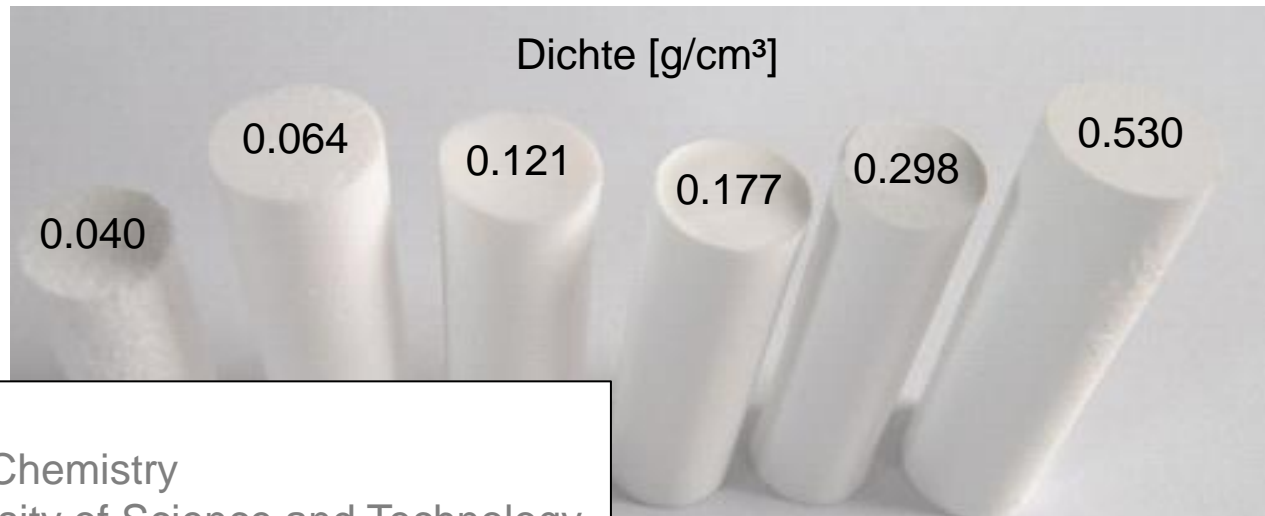
Bayerisches Zentrum
für Angewandte
Energieforschung

1. Polyurea Aerogele (PUA Aerogele)
2. Festkörperwärmeleitfähigkeit λ_{solid}
Messmethode
Messwerte PUA Aerogele
3. Steifigkeit c_{11}
Messmethode
Messwerte PUA Aerogele
4. Korrelation c_{11} und λ_{solid}

Polyurea Aerogle (PUA Aerogele)



Polyurea Aerogle (PUA Aerogele)



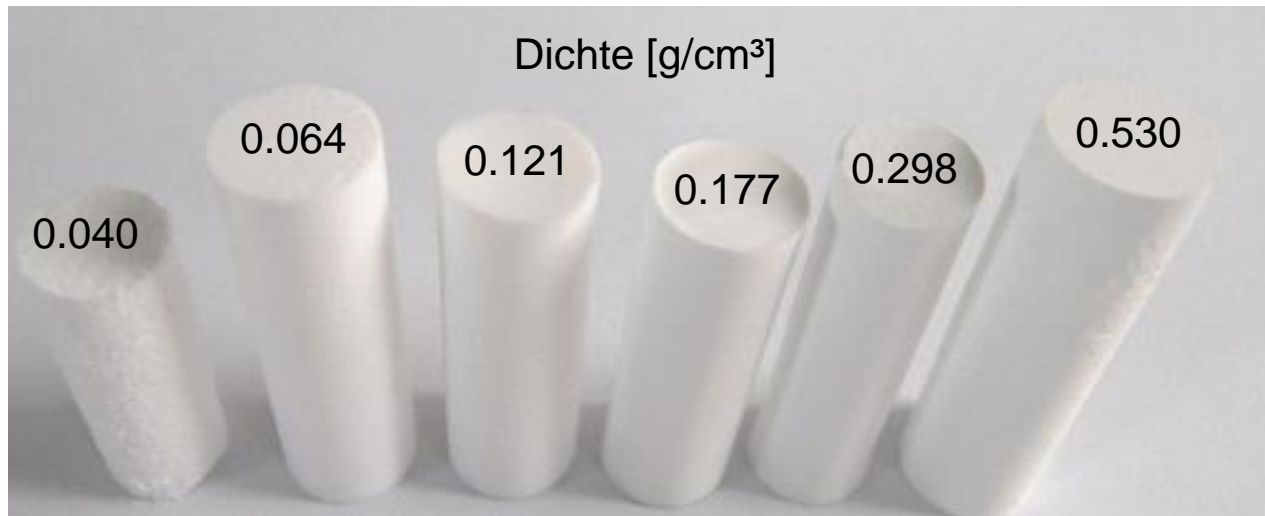
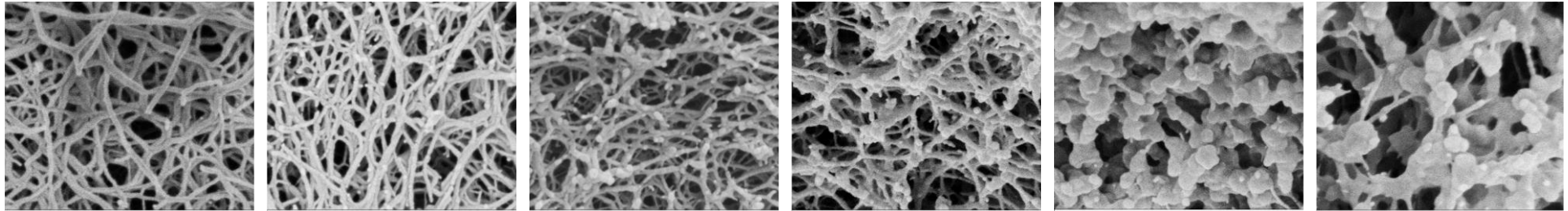
Prof. Leventis
Department of Chemistry
Missouri University of Science and Technology
Rolla, U.S.A.

PUA AEROGELE



ZAE BAYERN

Bayerisches Zentrum
für Angewandte
Energieforschung

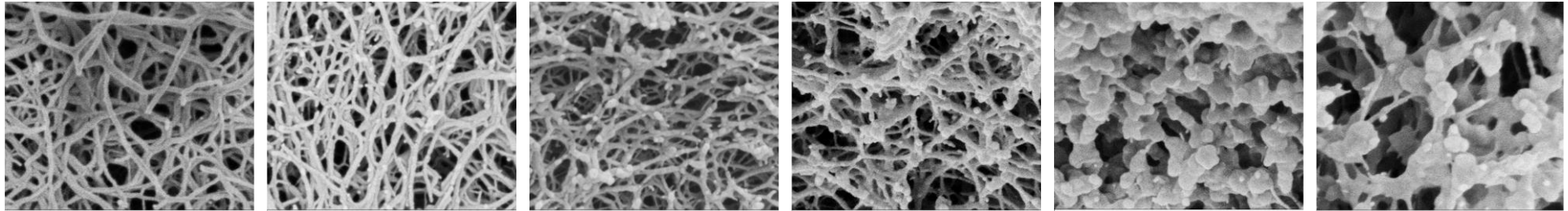


PUA AEROGELE

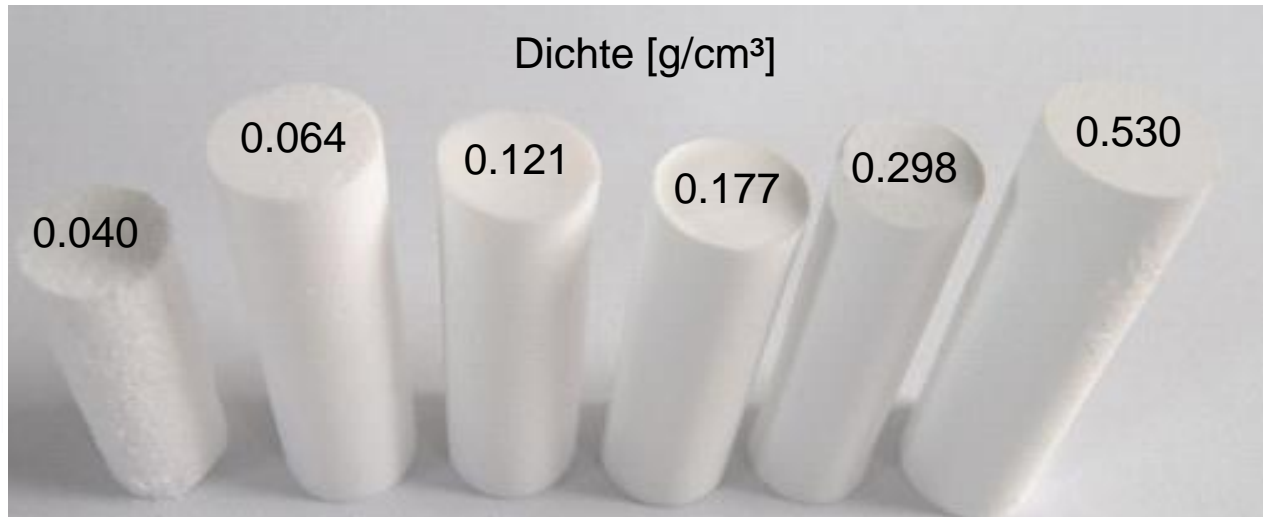
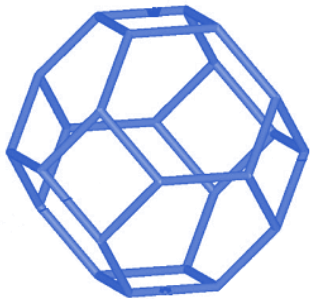


ZAE BAYERN

Bayerisches Zentrum
für Angewandte
Energieforschung



Mikrostruktur
Schaum

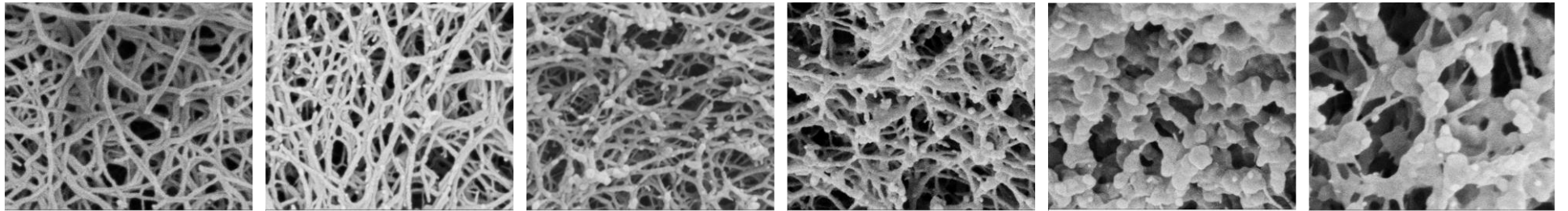


PUA AEROGELE

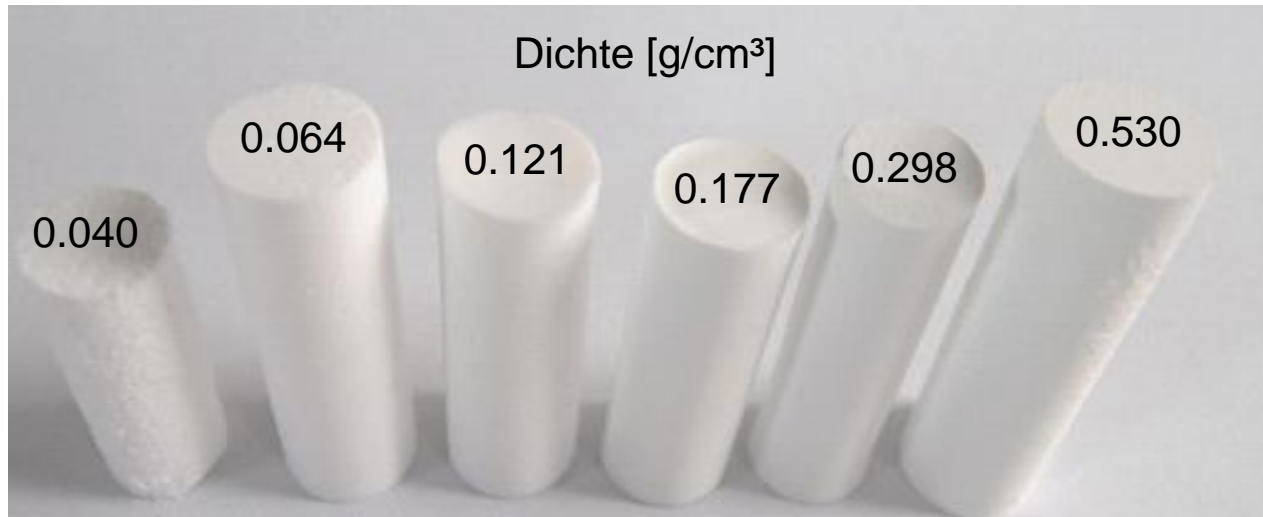
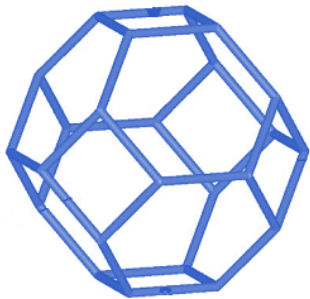


ZAE BAYERN

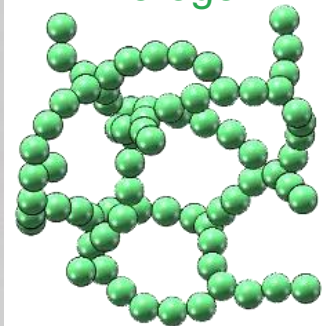
Bayerisches Zentrum
für Angewandte
Energieforschung



Mikrostruktur
Schaum



Mikrostruktur
Aerogel



WÄRMELEITUNG: HITZDRAHTMESSUNG



ZAE BAYERN

Bayerisches Zentrum
für Angewandte
Energieforschung

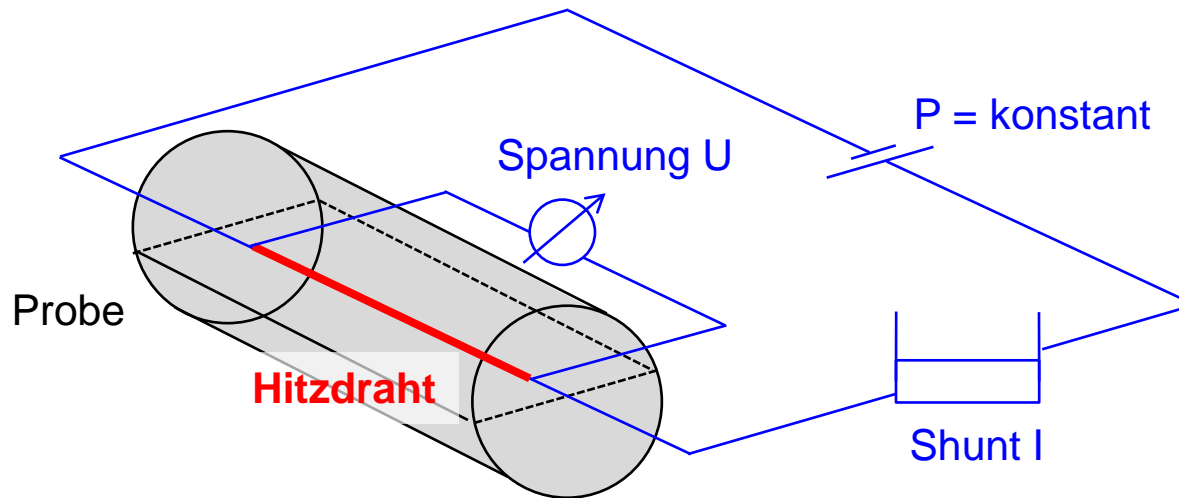
WÄRMELEITUNG: HITZDRAHTMESSUNG



ZAE BAYERN

Bayerisches Zentrum
für Angewandte
Energieforschung

Hitzdrahtmethode



WÄRMELEITUNG: HITZDRAHTMESSUNG

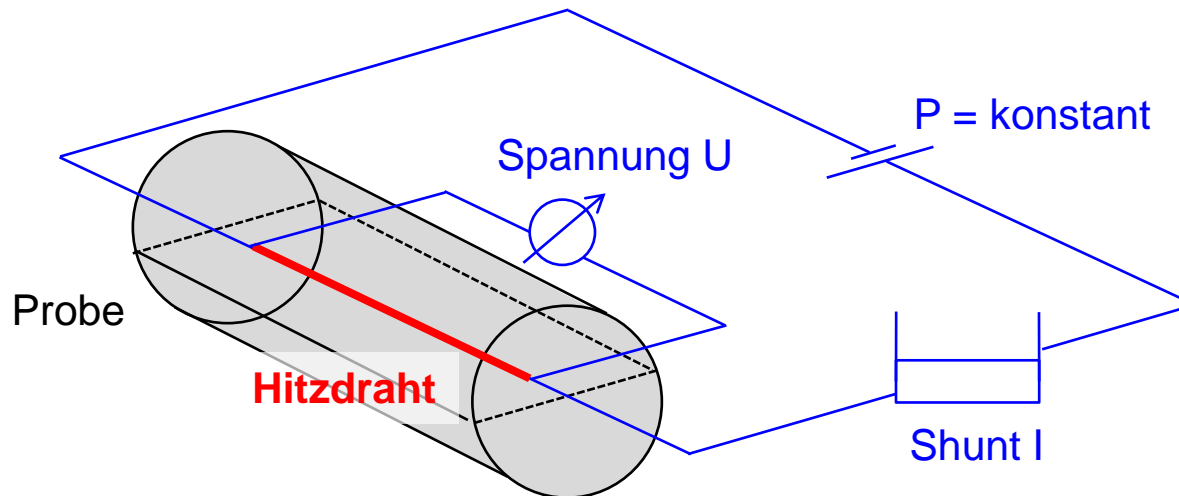


ZAE BAYERN

Bayerisches Zentrum
für Angewandte
Energieforschung

$$\lambda_{\text{total}} = \lambda_{\text{solid}} + \lambda_{\text{rad}} + \lambda_{\text{gas}}$$

Hitzdrahtmethode



WÄRMELEITUNG: MESSERGEBNISSE

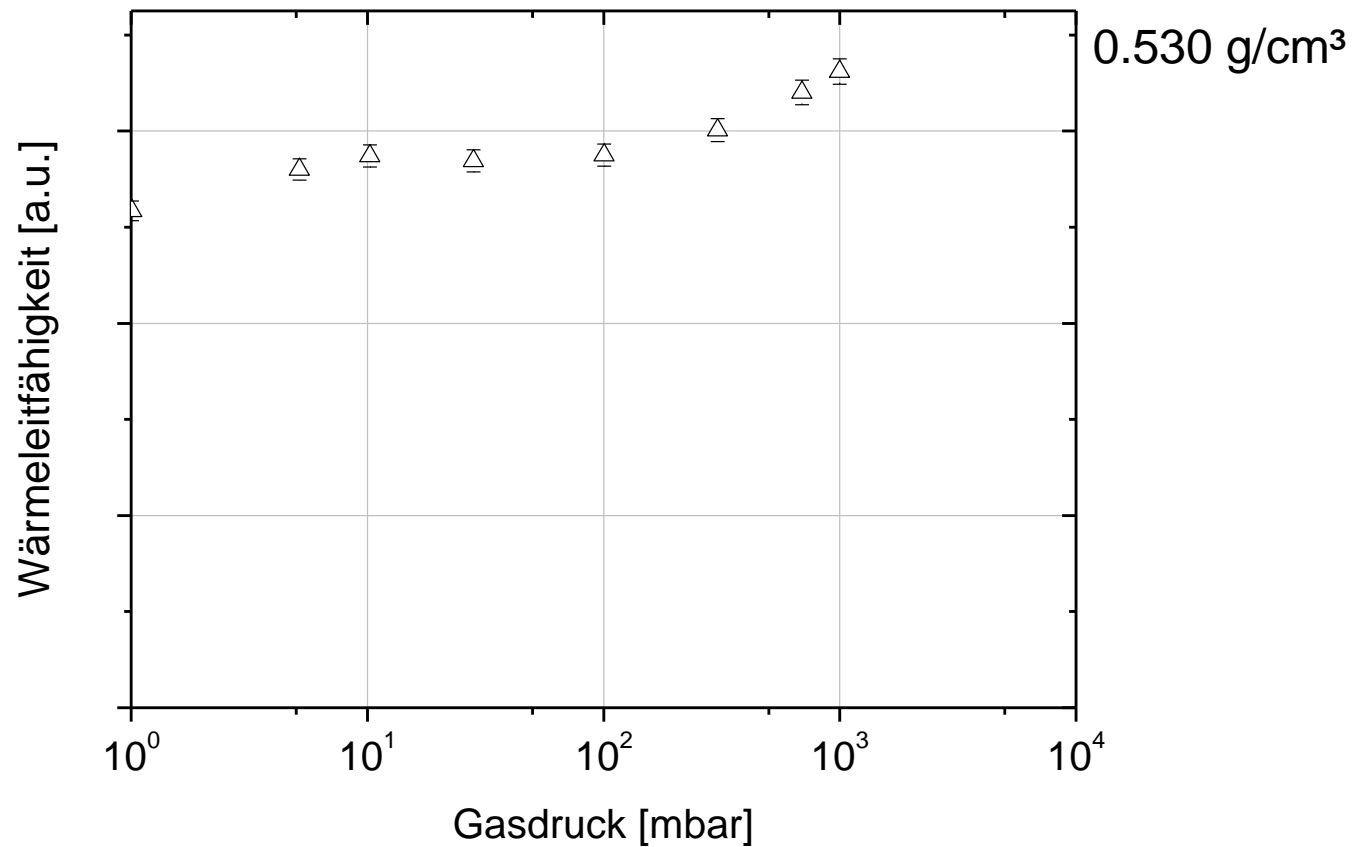


ZAE BAYERN

Bayerisches Zentrum
für Angewandte
Energieforschung

$$\lambda_{\text{total}} = \lambda_{\text{solid}} + \lambda_{\text{rad}} + \lambda_{\text{gas}}$$

Gasdruckabhängige Hitzdrahtmessungen



WÄRMELEITUNG: MESSERGEBNISSE



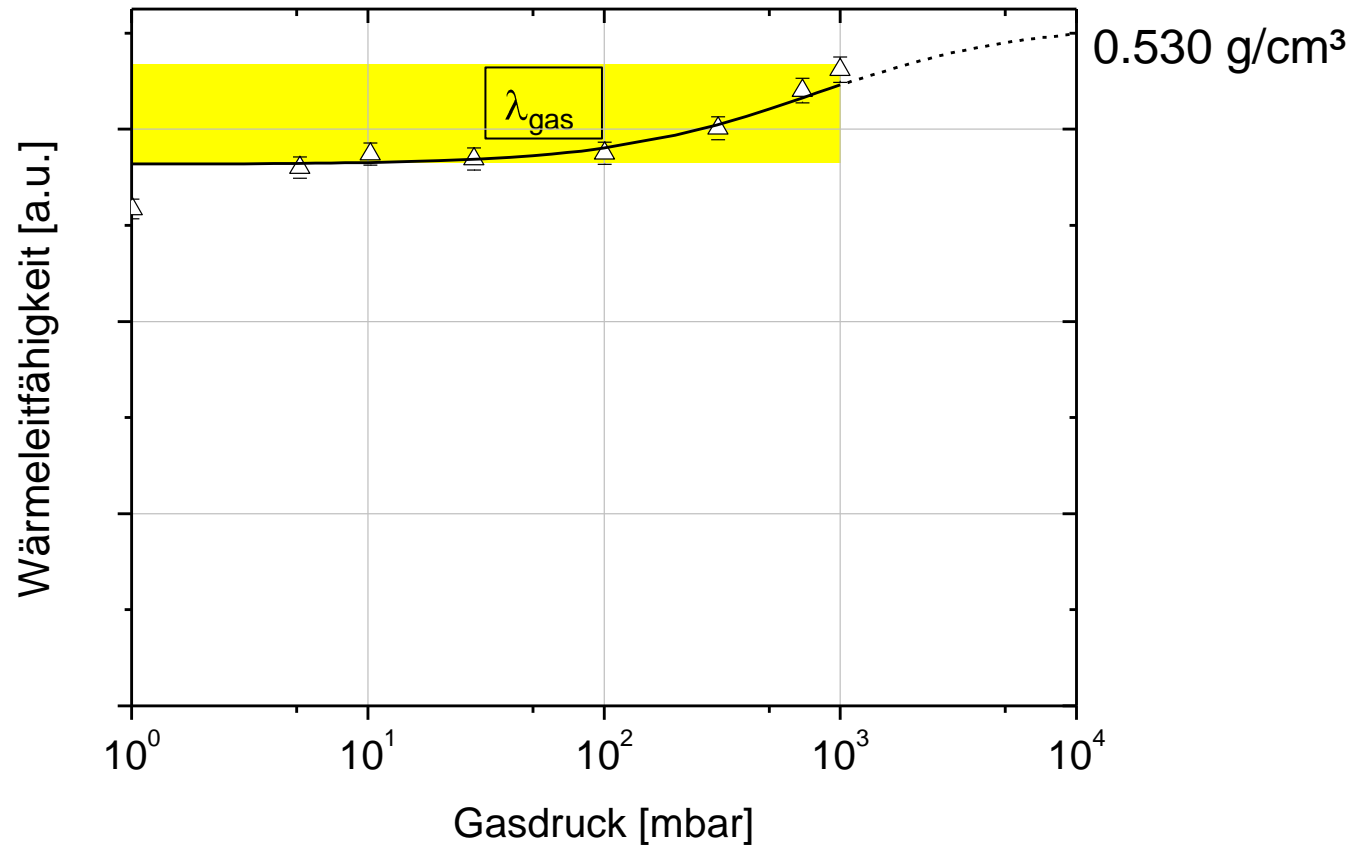
ZAE BAYERN

Bayerisches Zentrum
für Angewandte
Energieforschung

$$\lambda_{\text{total}} = \lambda_{\text{solid}} + \lambda_{\text{rad}} + \lambda_{\text{gas}}$$

Gasdruckabhängige Hitzdrahtmessungen

$$\lambda_{\text{gas}} = \frac{\lambda_0 \Phi}{1 + 2\beta \frac{l_m}{d} \frac{p}{p_0}}$$



WÄRMELEITUNG: MESSERGEBNISSE



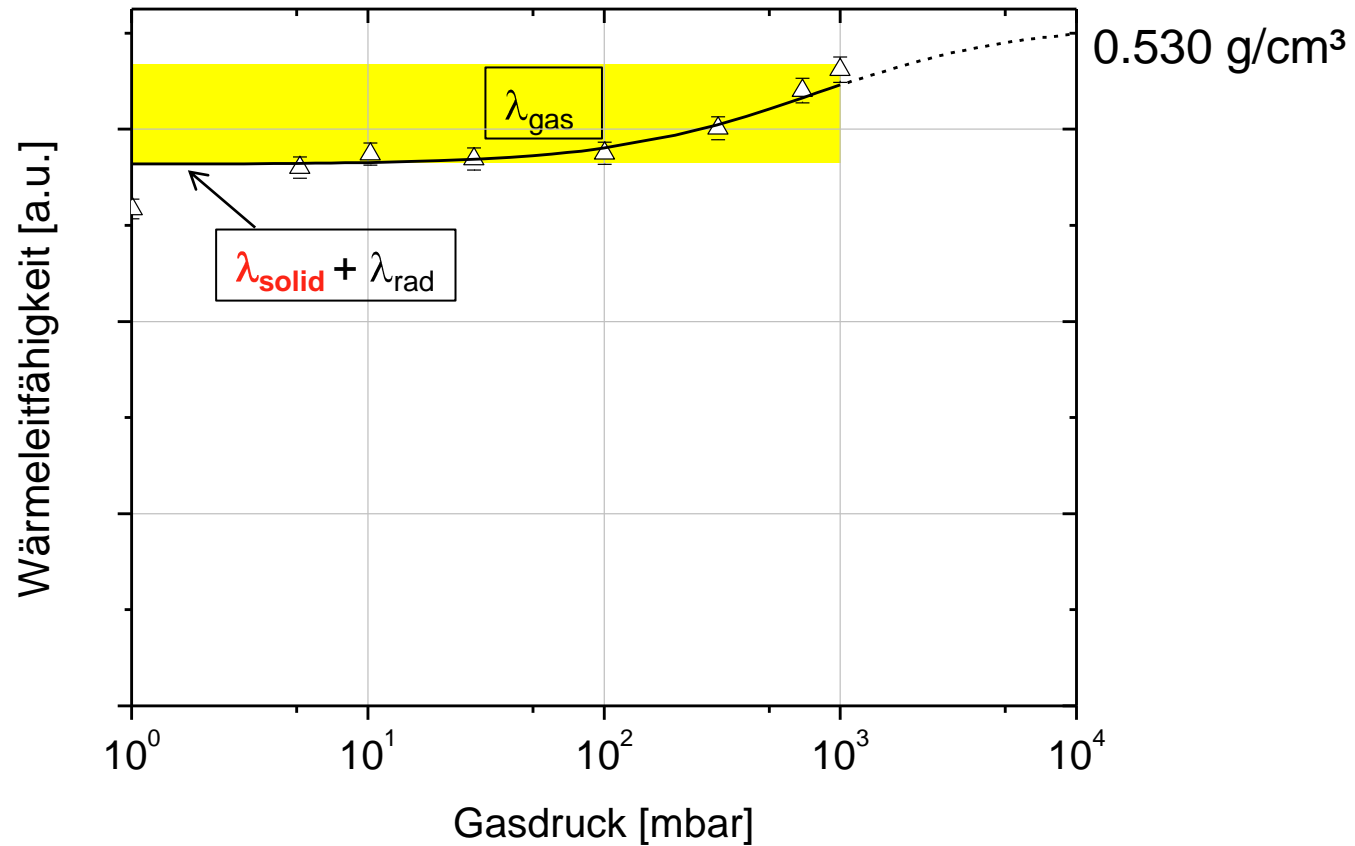
ZAE BAYERN

Bayerisches Zentrum
für Angewandte
Energieforschung

$$\lambda_{\text{total}} = \lambda_{\text{solid}} + \lambda_{\text{rad}} + \lambda_{\text{gas}}$$

Gasdruckabhängige Hitzdrahtmessungen

$$\lambda_{\text{gas}} = \frac{\lambda_0 \Phi}{1 + 2\beta \frac{l_m}{d} \frac{p}{p_0}}$$



WÄRMELEITUNG: MESSERGEBNISSE



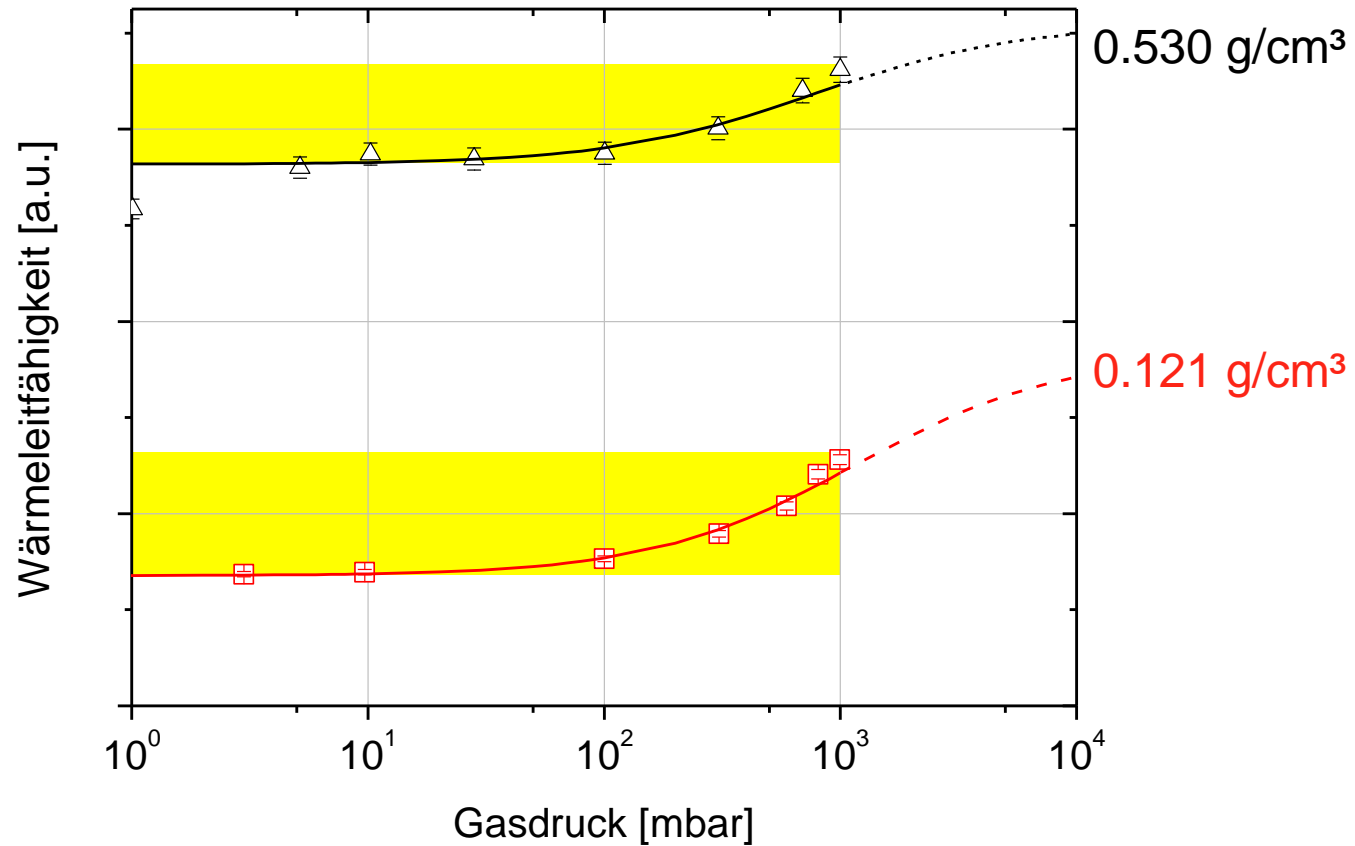
ZAE BAYERN

Bayerisches Zentrum
für Angewandte
Energieforschung

$$\lambda_{\text{total}} = \lambda_{\text{solid}} + \lambda_{\text{rad}} + \lambda_{\text{gas}}$$

Gasdruckabhängige Hitzdrahtmessungen

$$\lambda_{\text{gas}} = \frac{\lambda_0 \Phi}{1 + 2\beta \frac{l_m}{d} \frac{p}{p_0}}$$



WÄRMELEITUNG: MESSERGEBNISSE



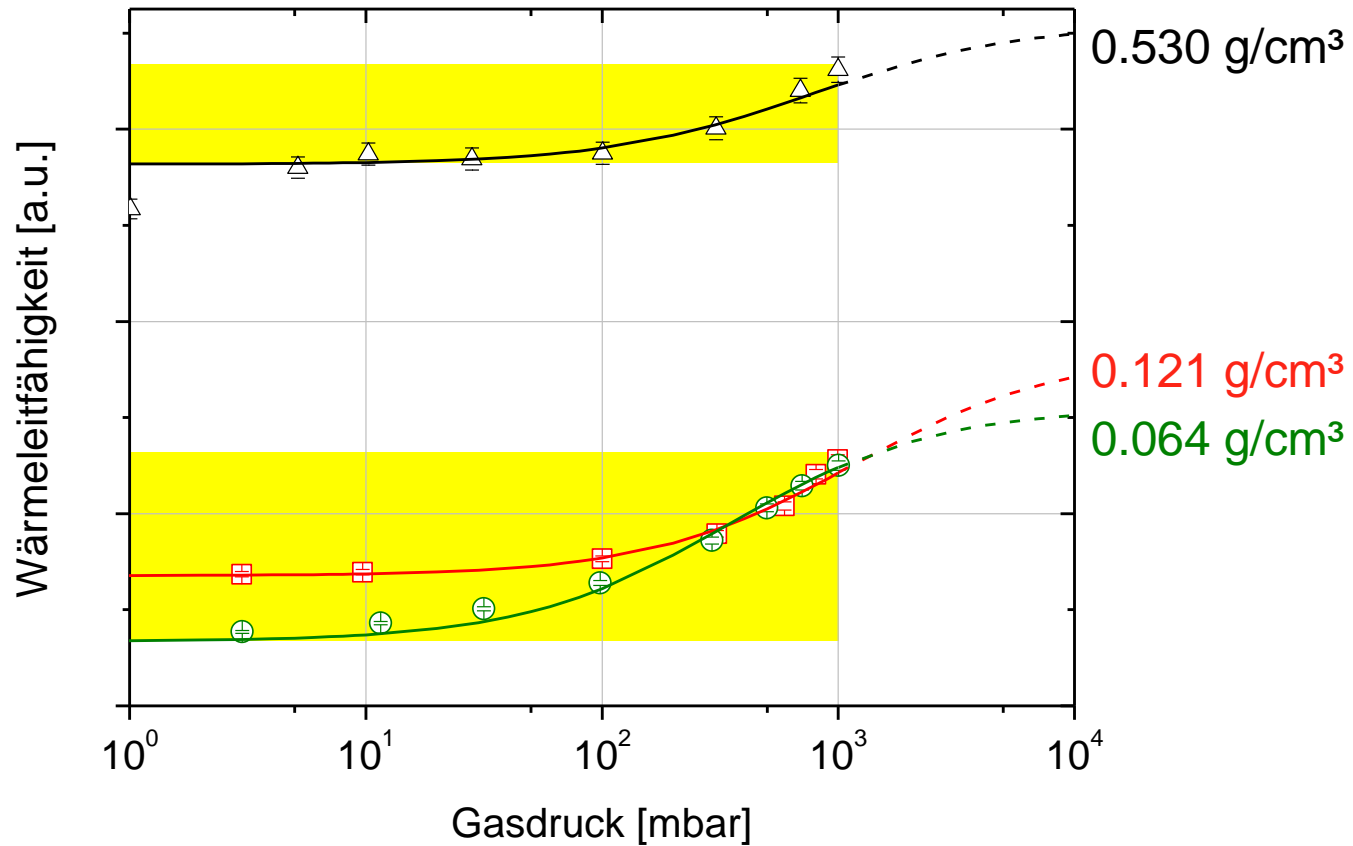
ZAE BAYERN

Bayerisches Zentrum
für Angewandte
Energieforschung

$$\lambda_{\text{total}} = \lambda_{\text{solid}} + \lambda_{\text{rad}} + \lambda_{\text{gas}}$$

Gasdruckabhängige Hitzdrahtmessungen

$$\lambda_{\text{gas}} = \frac{\lambda_0 \Phi}{1 + 2\beta \frac{l_m}{d} \frac{p}{p_0}}$$



WÄRMELEITUNG: MESSERGEBNISSE



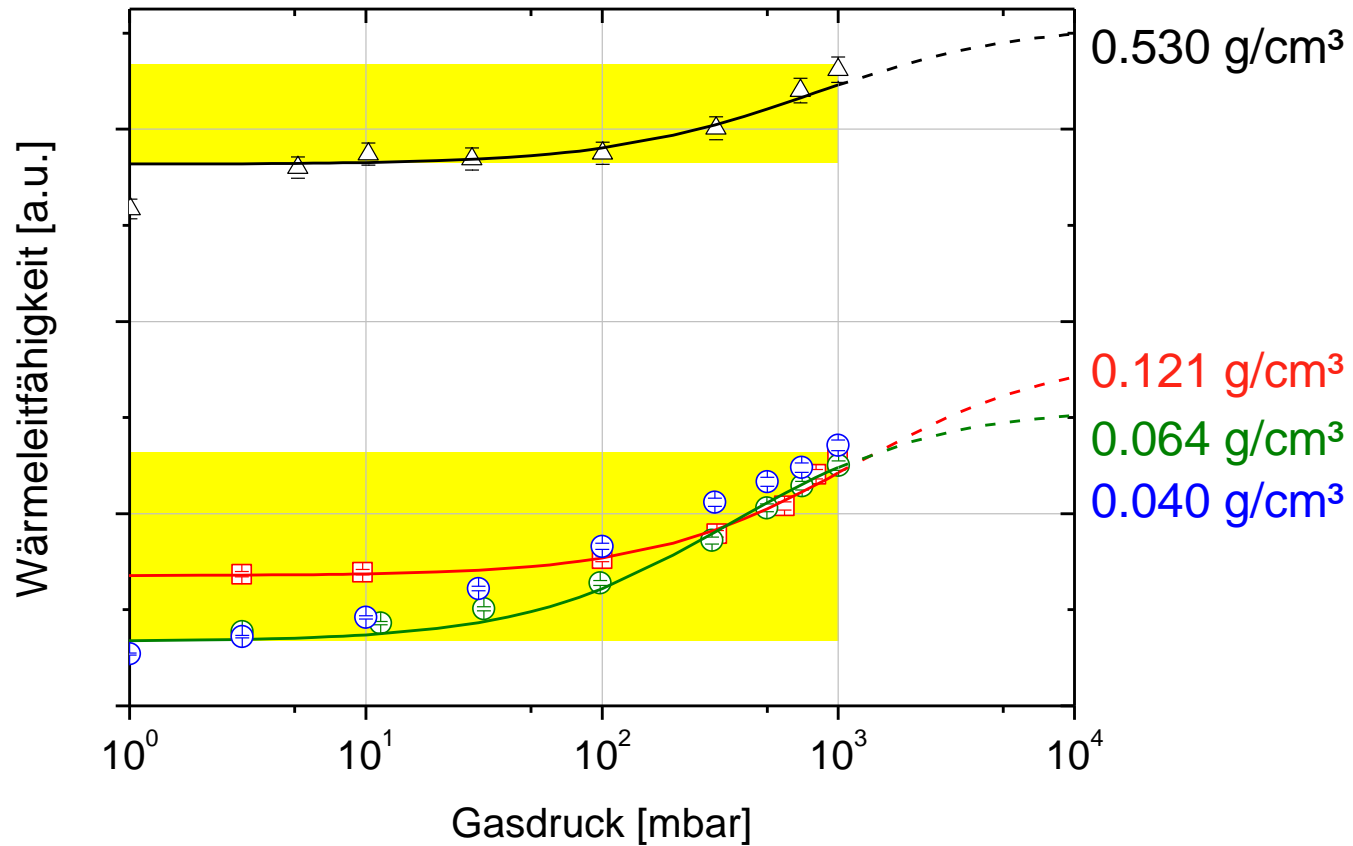
ZAE BAYERN

Bayerisches Zentrum
für Angewandte
Energieforschung

$$\lambda_{\text{total}} = \lambda_{\text{solid}} + \lambda_{\text{rad}} + \lambda_{\text{gas}}$$

Gasdruckabhängige Hitzdrahtmessungen

$$\lambda_{\text{gas}} = \frac{\lambda_0 \Phi}{1 + 2\beta \frac{l_m}{d} \frac{p}{p_0}}$$



WÄRMELEITUNG: MESSERGEBNISSE



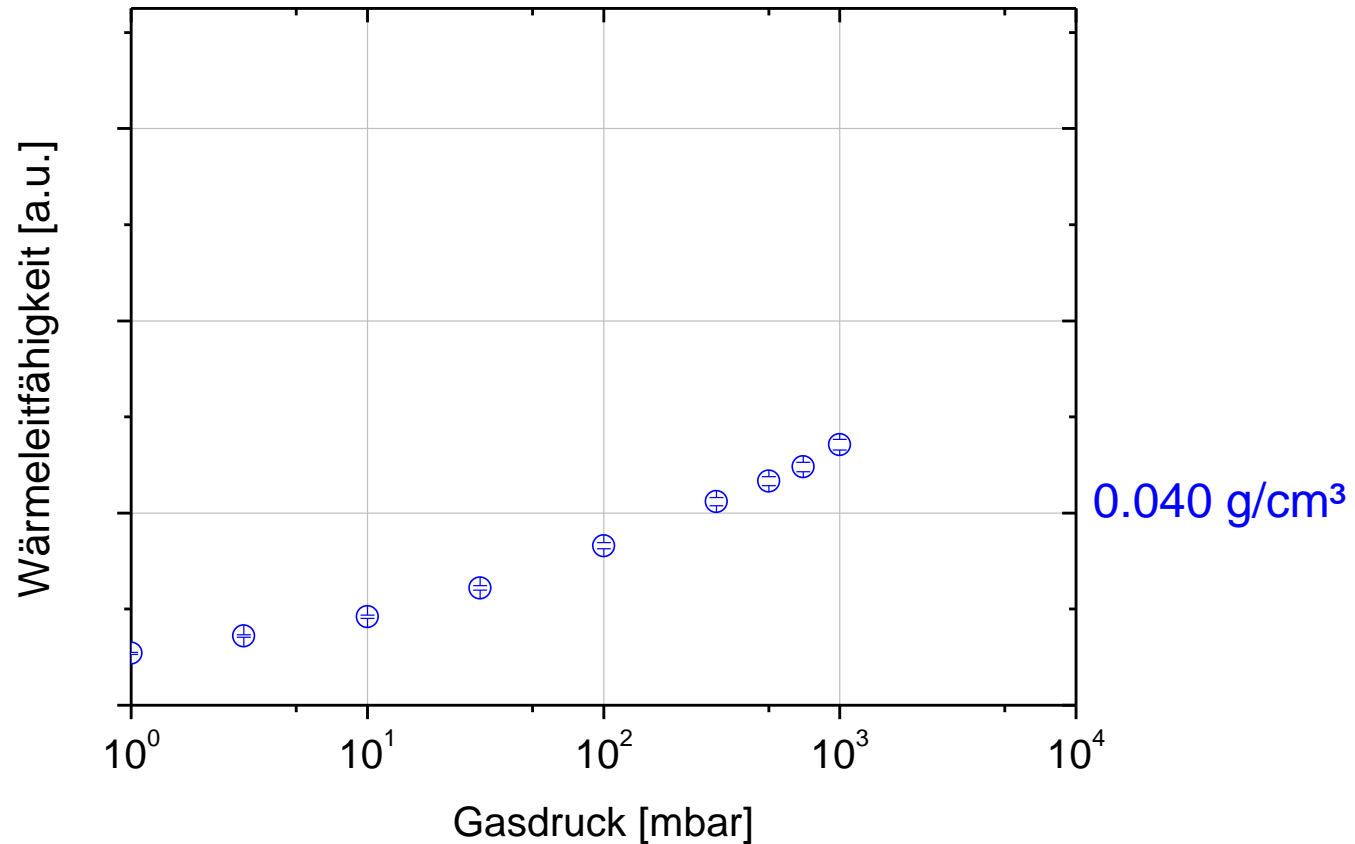
ZAE BAYERN

Bayerisches Zentrum
für Angewandte
Energieforschung

$$\lambda_{\text{total}} = \lambda_{\text{solid}} + \lambda_{\text{rad}} + \lambda_{\text{gas}}$$

Gasdruckabhängige Hitzdrahtmessungen

$$\lambda_{\text{gas}} = \frac{\lambda_0 \Phi}{1 + 2\beta \frac{l_m}{d} \frac{p}{p_0}}$$



WÄRMELEITUNG: MESSERGEBNISSE



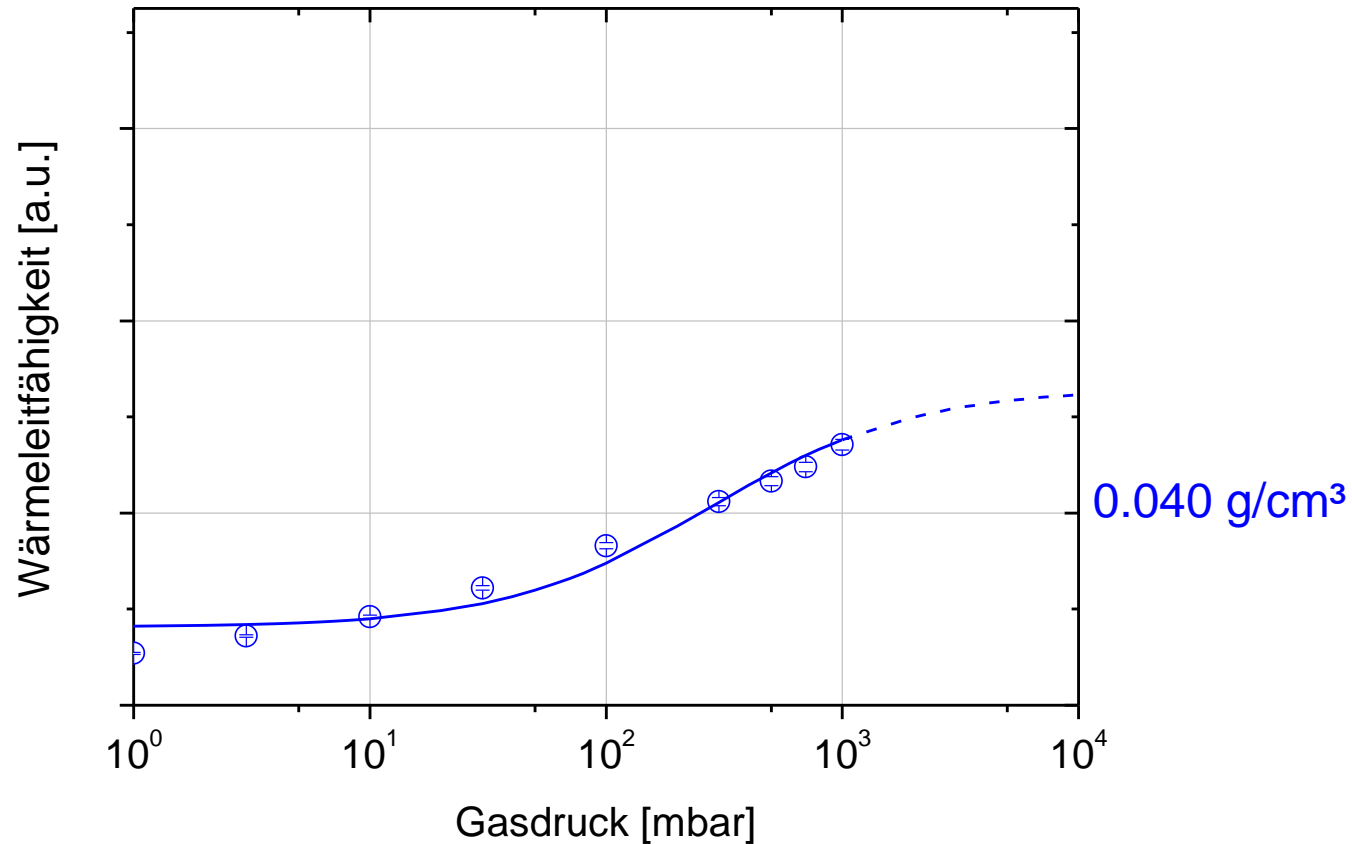
ZAE BAYERN

Bayerisches Zentrum
für Angewandte
Energieforschung

$$\lambda_{\text{total}} = \lambda_{\text{solid}} + \lambda_{\text{rad}} + \lambda_{\text{gas}}$$

Gasdruckabhängige Hitzdrahtmessungen

$$\lambda_{\text{gas}} = \frac{\lambda_0 \Phi}{1 + 2\beta \frac{l_m}{d} \frac{p}{p_0}}$$



WÄRMELEITUNG: MESSERGEBNISSE



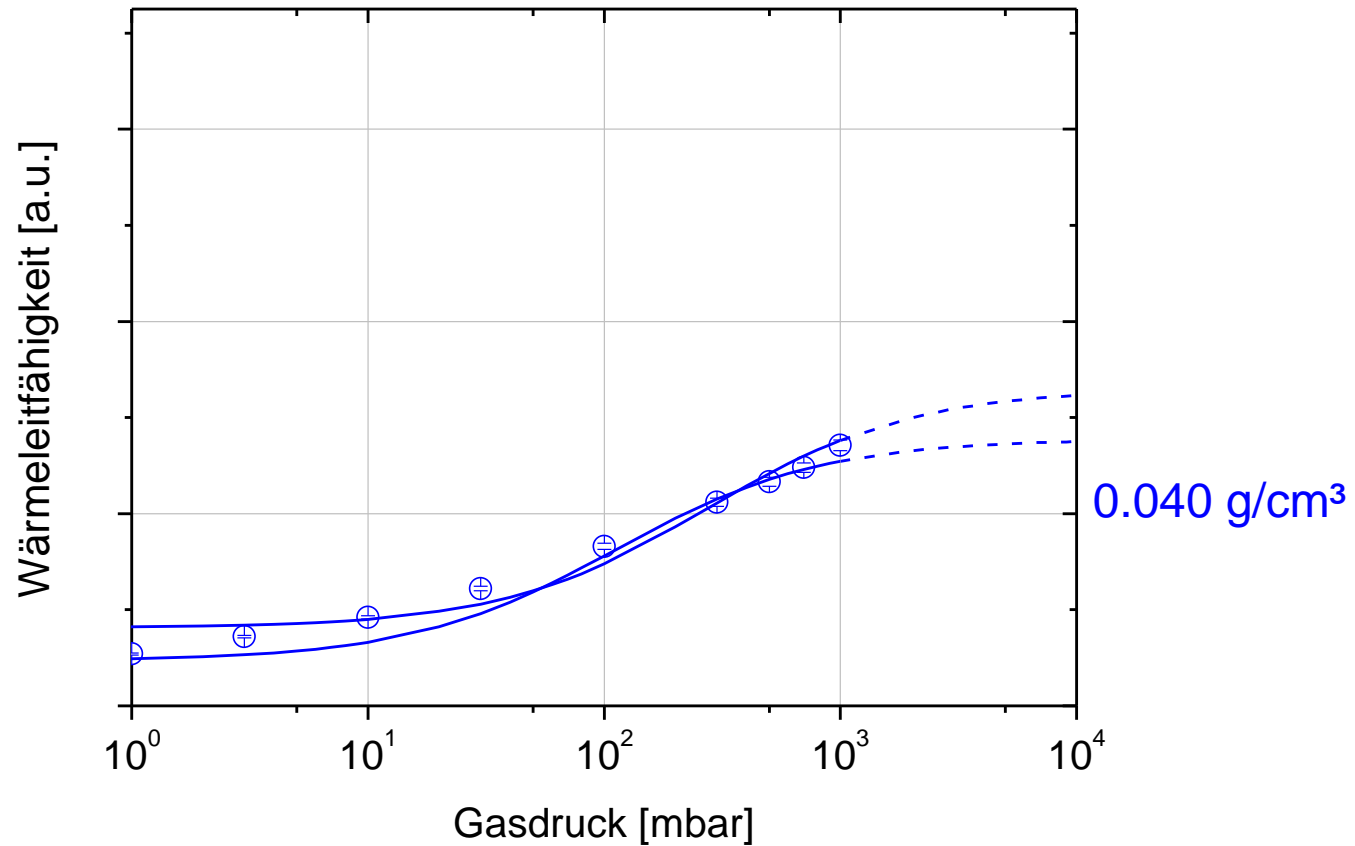
ZAE BAYERN

Bayerisches Zentrum
für Angewandte
Energieforschung

$$\lambda_{\text{total}} = \lambda_{\text{solid}} + \lambda_{\text{rad}} + \lambda_{\text{gas}}$$

Gasdruckabhängige Hitzdrahtmessungen

$$\lambda_{\text{gas}} = \frac{\lambda_0 \Phi}{1 + 2\beta \frac{l_m}{d} \frac{p}{p_0}}$$



WÄRMELEITUNG: MESSERGEBNISSE



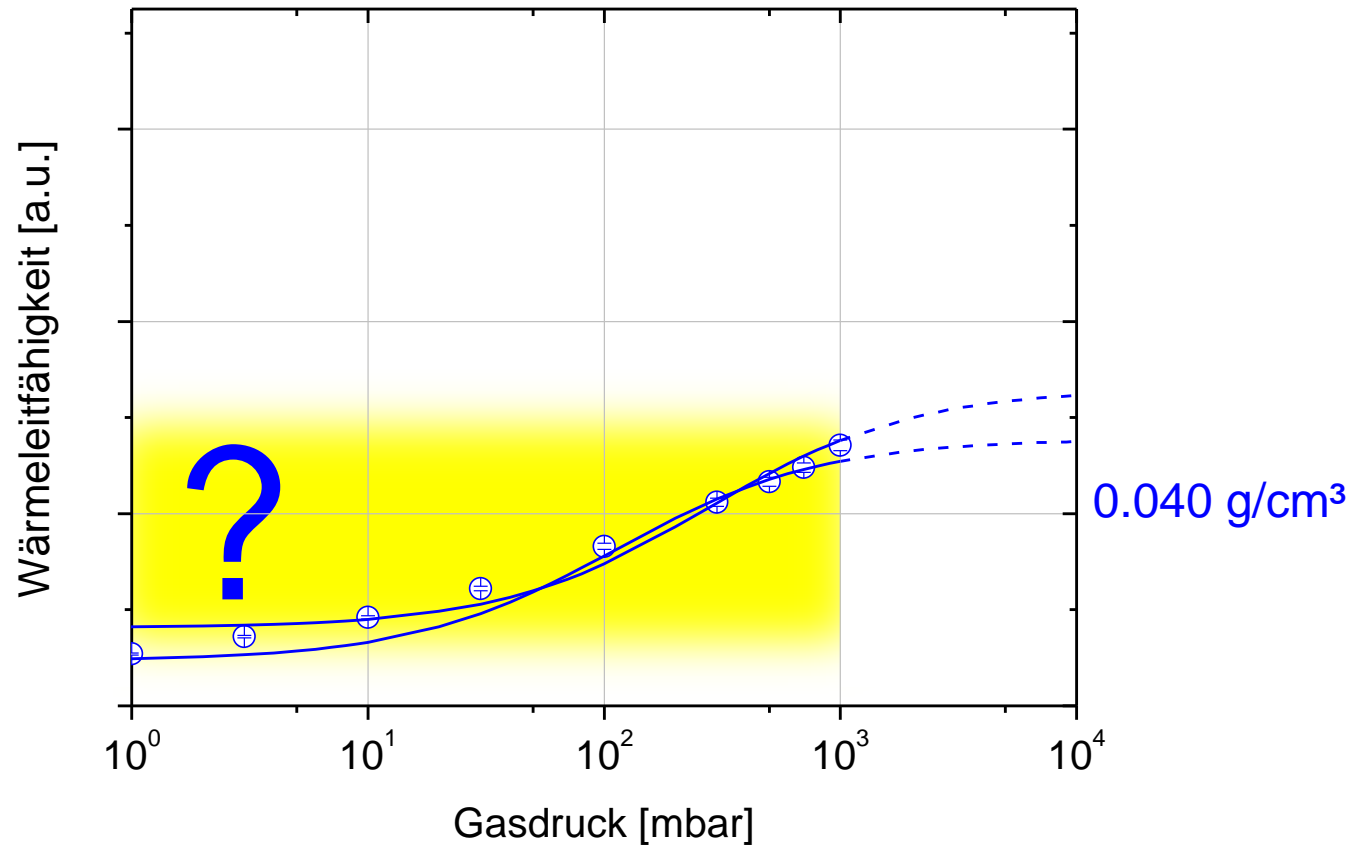
ZAE BAYERN

Bayerisches Zentrum
für Angewandte
Energieforschung

$$\lambda_{\text{total}} = \lambda_{\text{solid}} + \lambda_{\text{rad}} + \lambda_{\text{gas}}$$

Gasdruckabhängige Hitzdrahtmessungen

$$\lambda_{\text{gas}} = \frac{\lambda_0 \Phi}{1 + 2\beta \frac{l_m}{d} \frac{p}{p_0}}$$



WÄRMELEITUNG: MESSERGEBNISSE

$$\lambda_{\text{total}} = \lambda_{\text{solid}} + \lambda_{\text{rad}} + \lambda_{\text{gas}}$$



ZAE BAYERN

Bayerisches Zentrum
für Angewandte
Energieforschung

WÄRMELEITUNG: MESSERGEBNISSE

$$\lambda_{\text{total}} = \lambda_{\text{solid}} + \lambda_{\text{rad}} + \lambda_{\text{gas}}$$



ZAE BAYERN

Bayerisches Zentrum
für Angewandte
Energieforschung

WÄRMELEITUNG: MESSERGEBNISSE

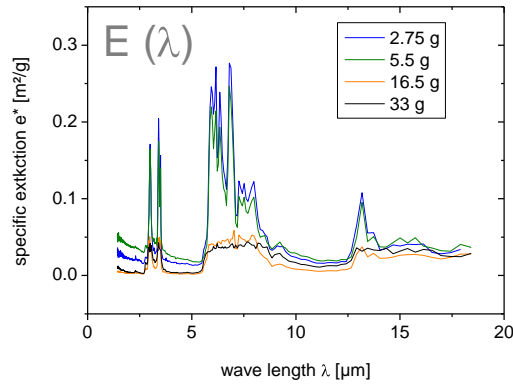


ZAE BAYERN

Bayerisches Zentrum
für Angewandte
Energieforschung

$$\lambda_{\text{total}} = \lambda_{\text{solid}} + \lambda_{\text{rad}} + \lambda_{\text{gas}}$$

Diffusiver Strahlungswärmtransport



$$\lambda_{\text{rad, diff}} = \frac{16 n^2 \sigma T^3}{3 E}$$

WÄRMELEITUNG: MESSERGEBNISSE

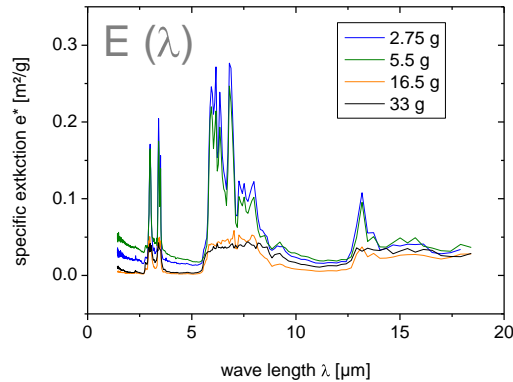


ZAE BAYERN

Bayerisches Zentrum
für Angewandte
Energieforschung

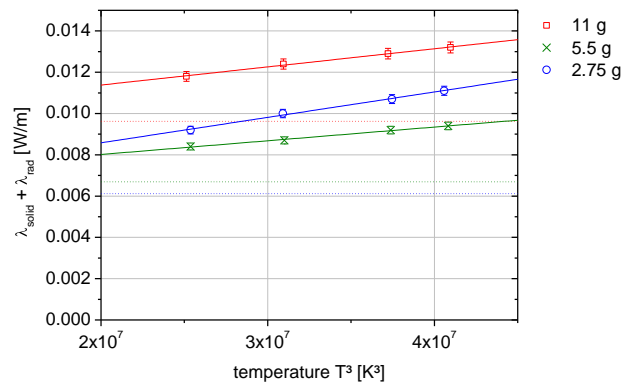
$$\lambda_{\text{total}} = \lambda_{\text{solid}} + \lambda_{\text{rad}} + \lambda_{\text{gas}}$$

Diffusiver Strahlungswärmetransport



$$\lambda_{\text{rad, diff}} = \frac{16 n^2 \sigma T^3}{3 E}$$

Temperaturabhängige Hitzdrahtmessungen



$$\lambda_{\text{rad}} \propto T^3$$

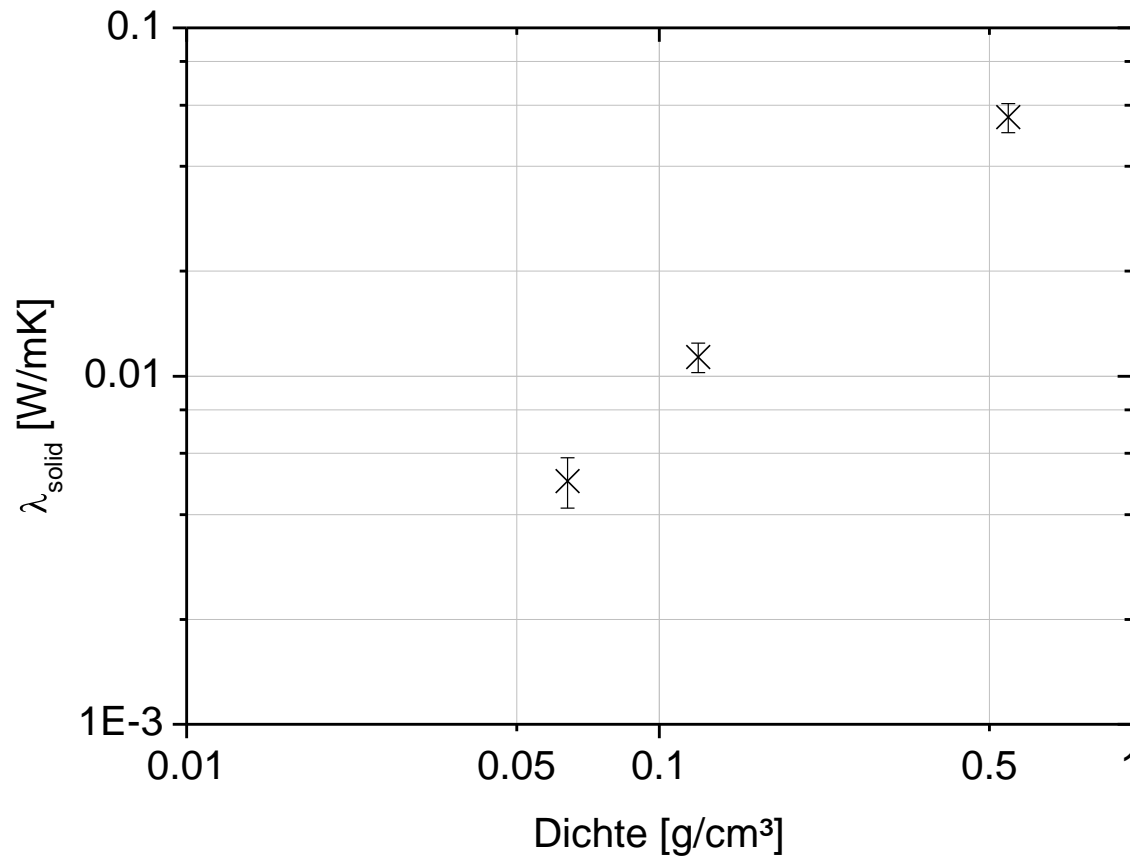
FESTKÖRPERWÄRMELEITUNG



ZAE BAYERN

Bayerisches Zentrum
für Angewandte
Energieforschung

$$\lambda_{\text{total}} = \lambda_{\text{solid}} + \lambda_{\text{rad}} + \lambda_{\text{gas}}$$



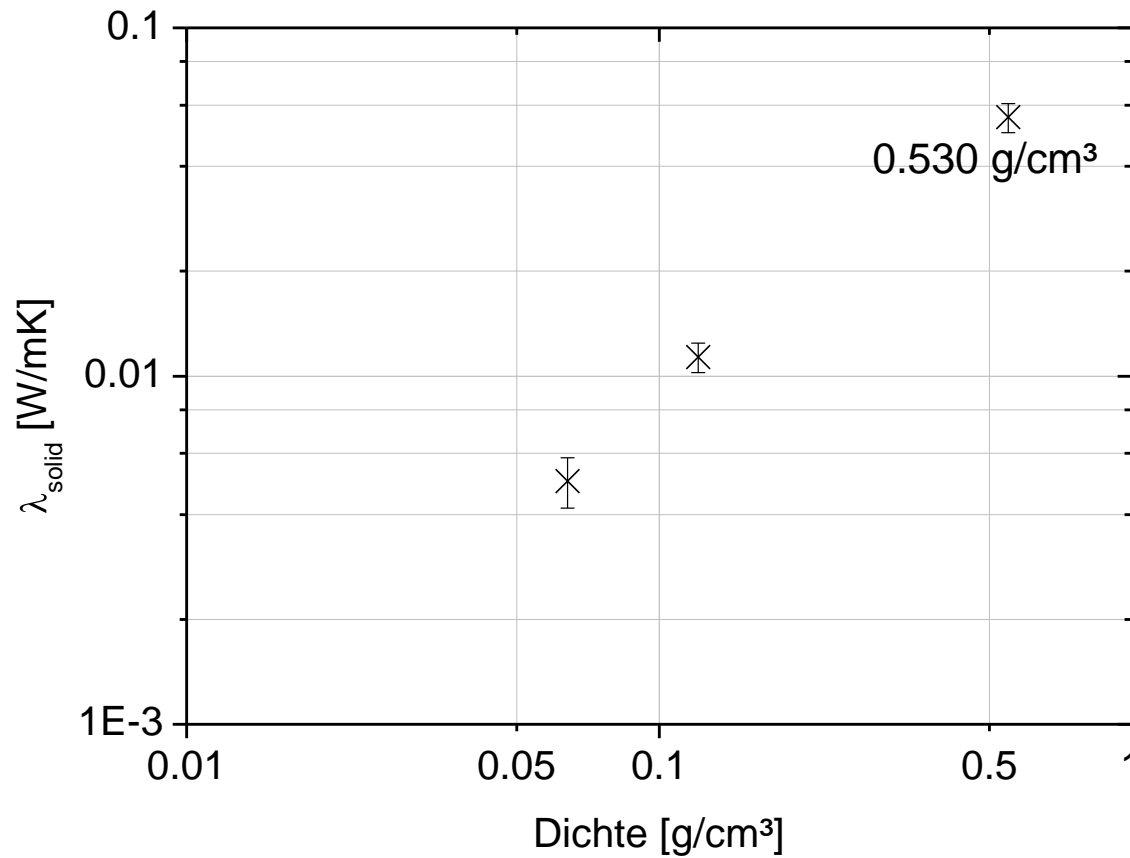
FESTKÖRPERWÄRMELEITUNG



ZAE BAYERN

Bayerisches Zentrum
für Angewandte
Energieforschung

$$\lambda_{\text{total}} = \lambda_{\text{solid}} + \lambda_{\text{rad}} + \lambda_{\text{gas}}$$



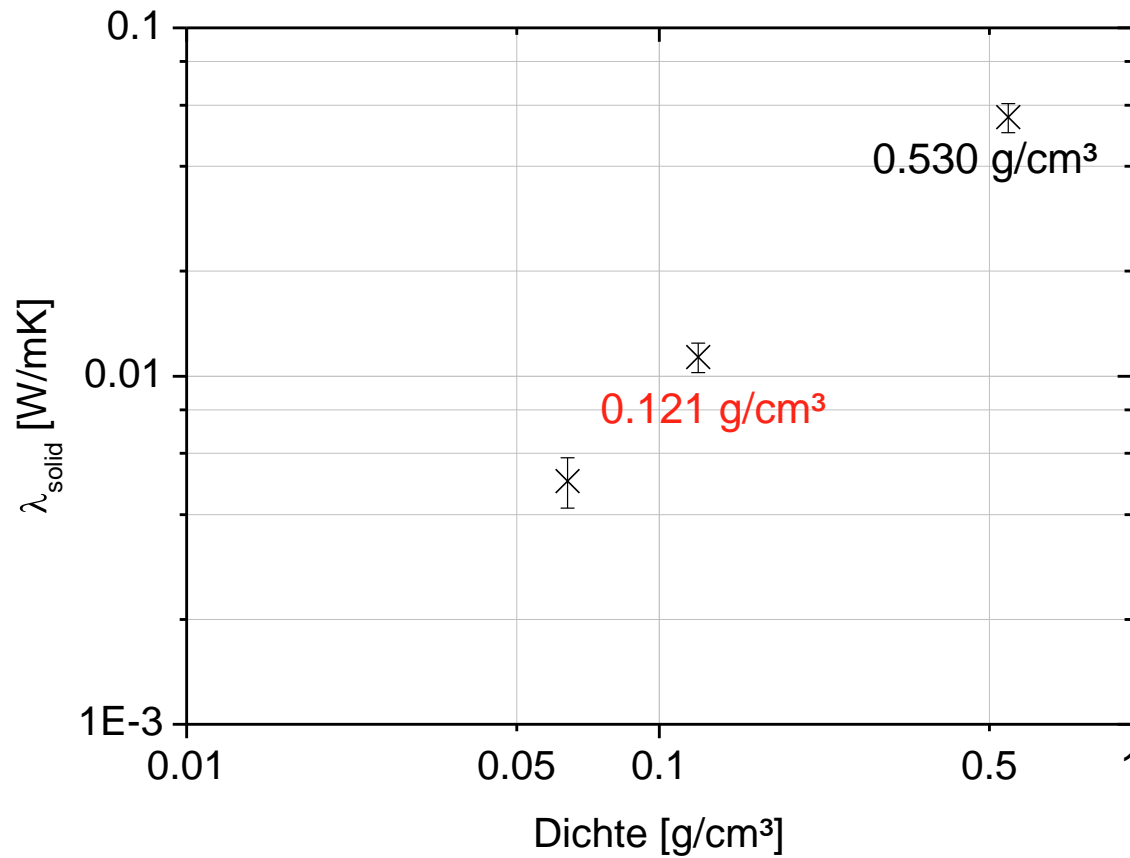
FESTKÖRPERWÄRMELEITUNG



ZAE BAYERN

Bayerisches Zentrum
für Angewandte
Energieforschung

$$\lambda_{\text{total}} = \lambda_{\text{solid}} + \lambda_{\text{rad}} + \lambda_{\text{gas}}$$



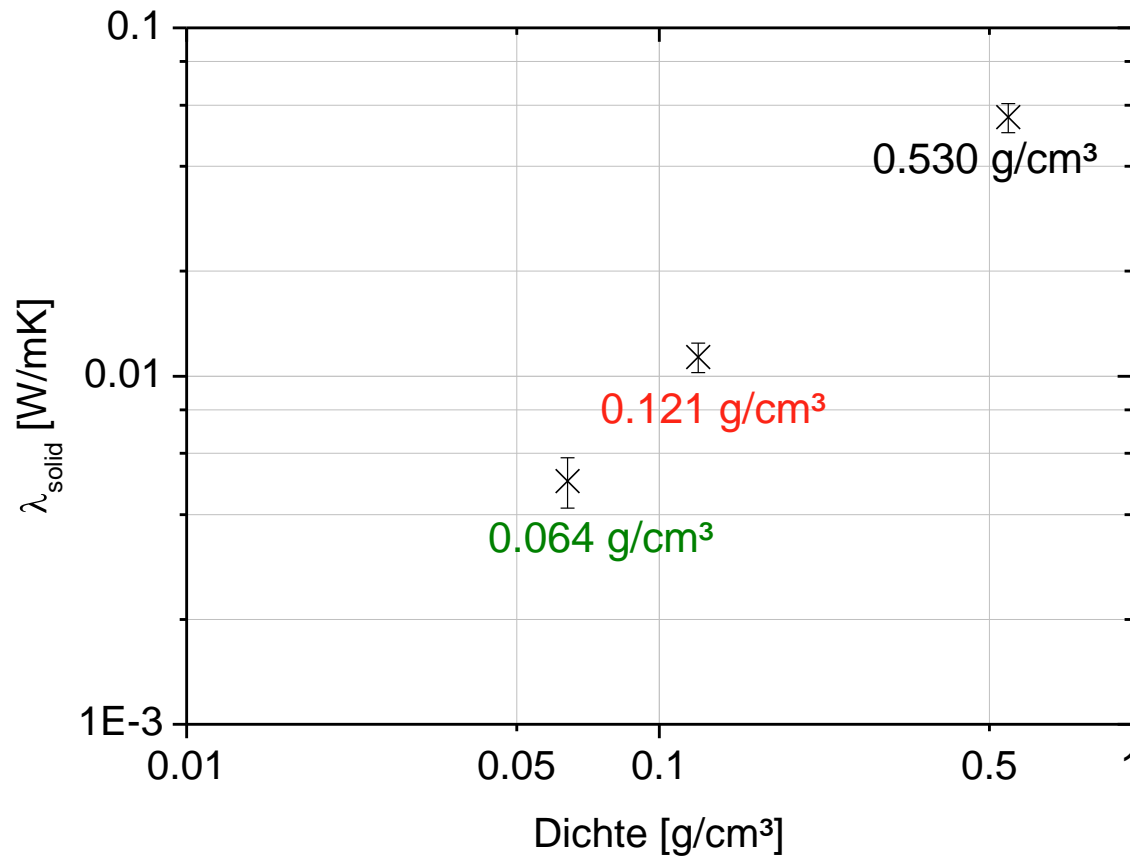
FESTKÖRPERWÄRMELEITUNG



ZAE BAYERN

Bayerisches Zentrum
für Angewandte
Energieforschung

$$\lambda_{\text{total}} = \lambda_{\text{solid}} + \lambda_{\text{rad}} + \lambda_{\text{gas}}$$



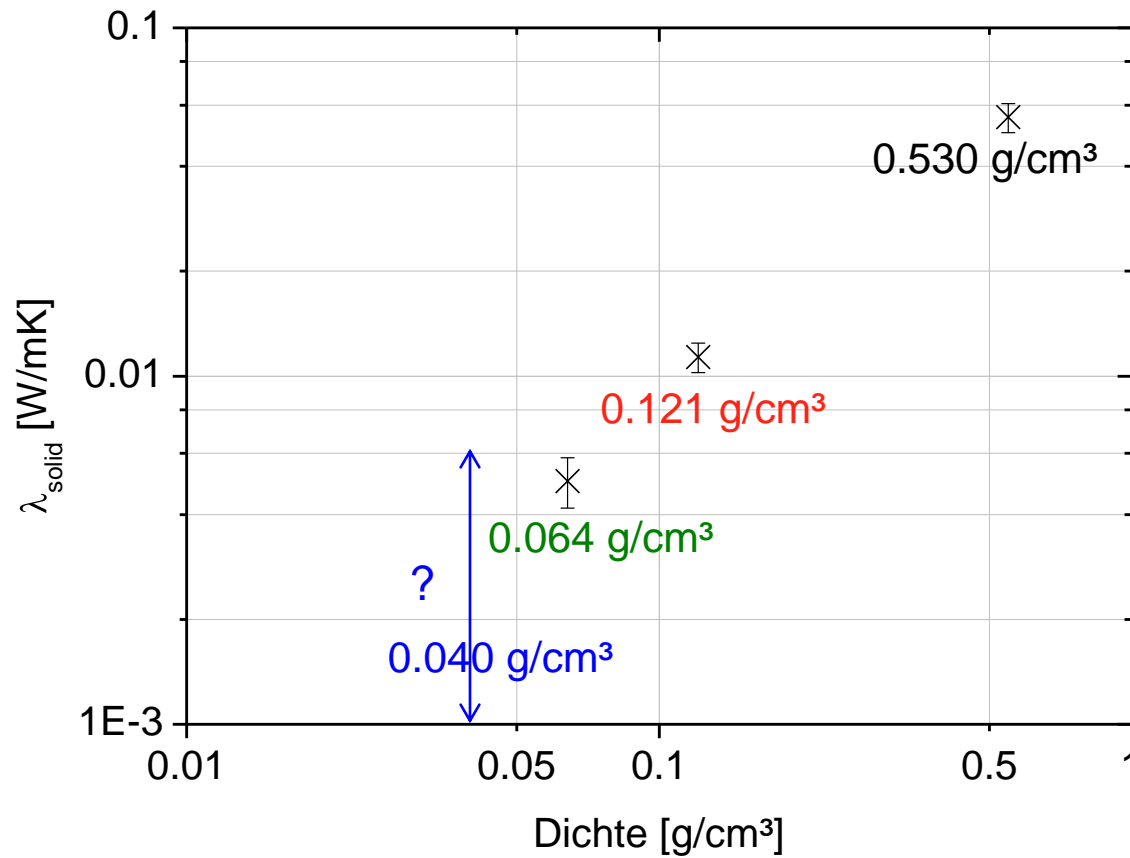
FESTKÖRPERWÄRMELEITUNG



ZAE BAYERN

Bayerisches Zentrum
für Angewandte
Energieforschung

$$\lambda_{\text{total}} = \lambda_{\text{solid}} + \lambda_{\text{rad}} + \lambda_{\text{gas}}$$

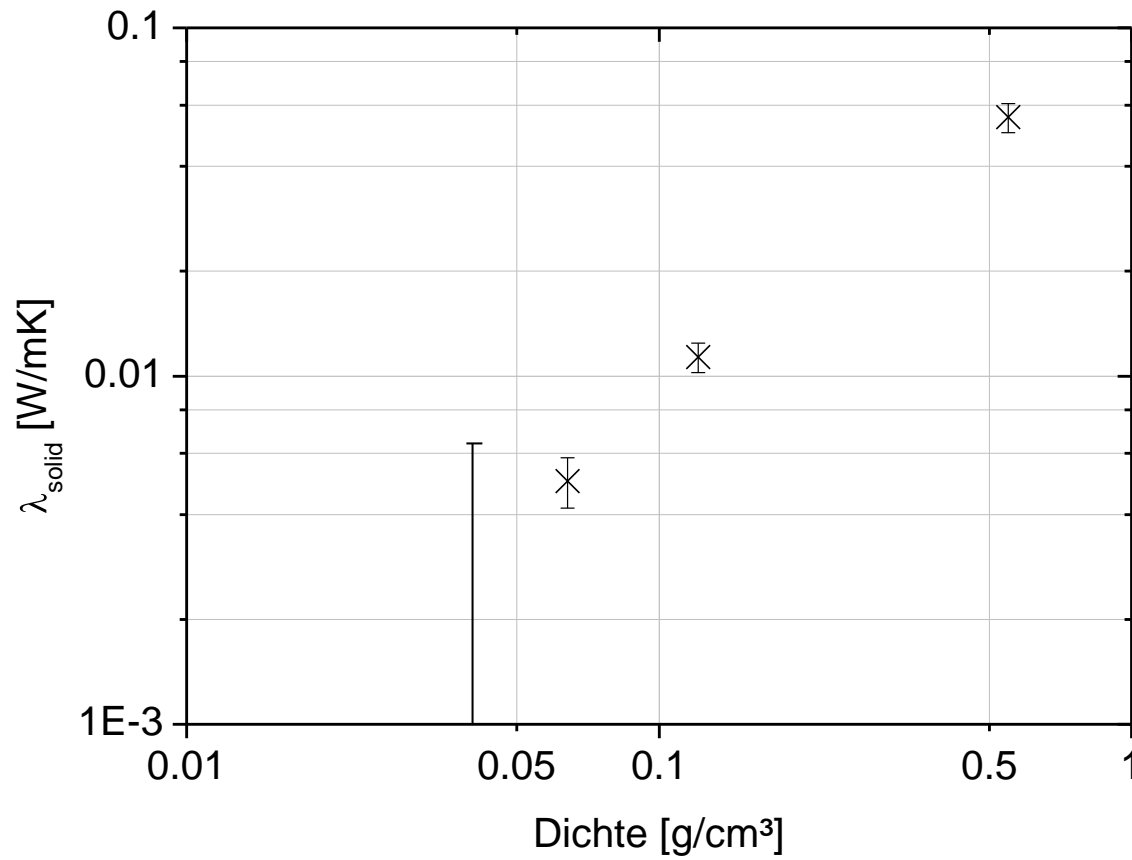


FESTKÖRPERWÄRMELEITUNG



ZAE BAYERN

Bayerisches Zentrum
für Angewandte
Energieforschung

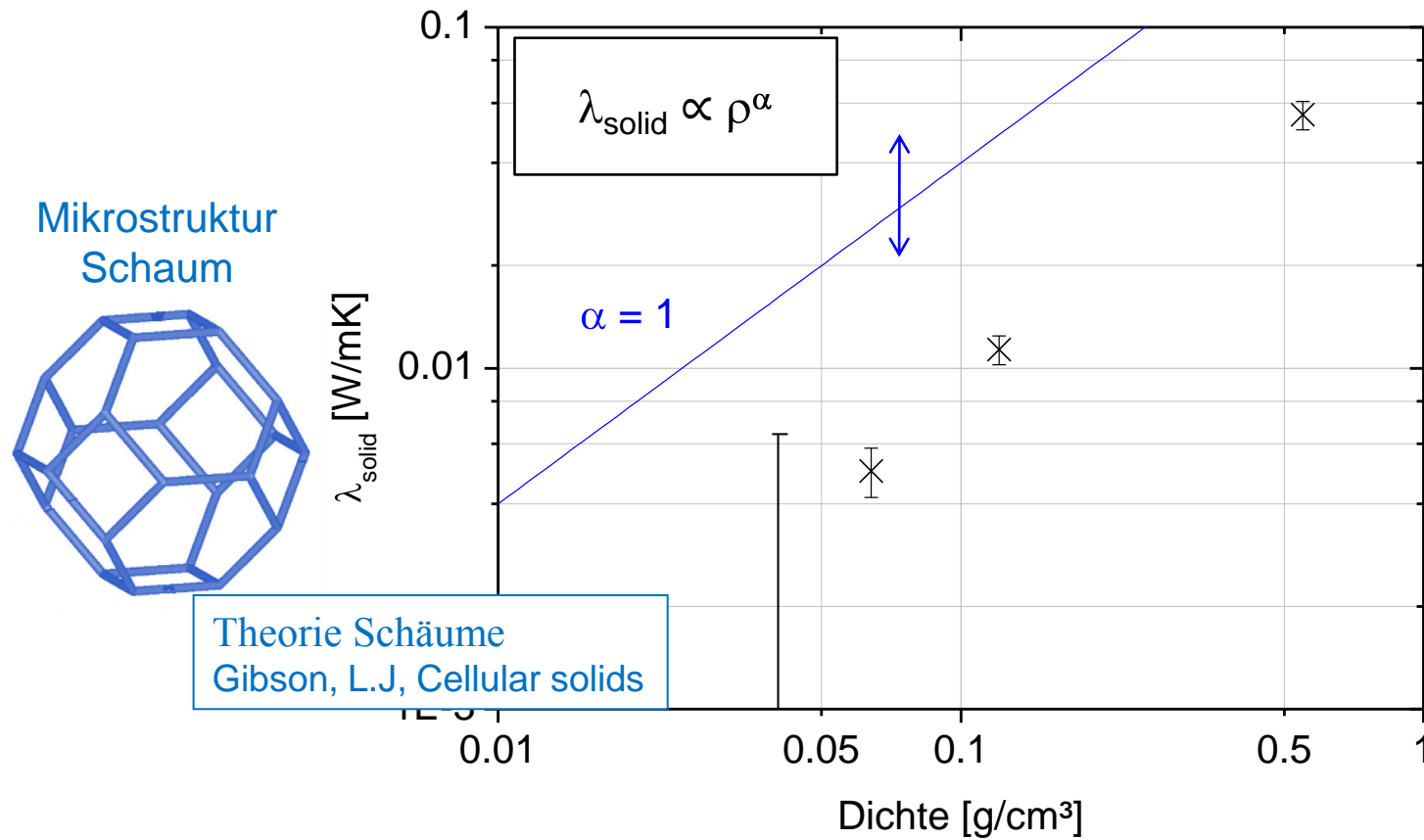


FESTKÖRPERWÄRMELEITUNG



ZAE BAYERN

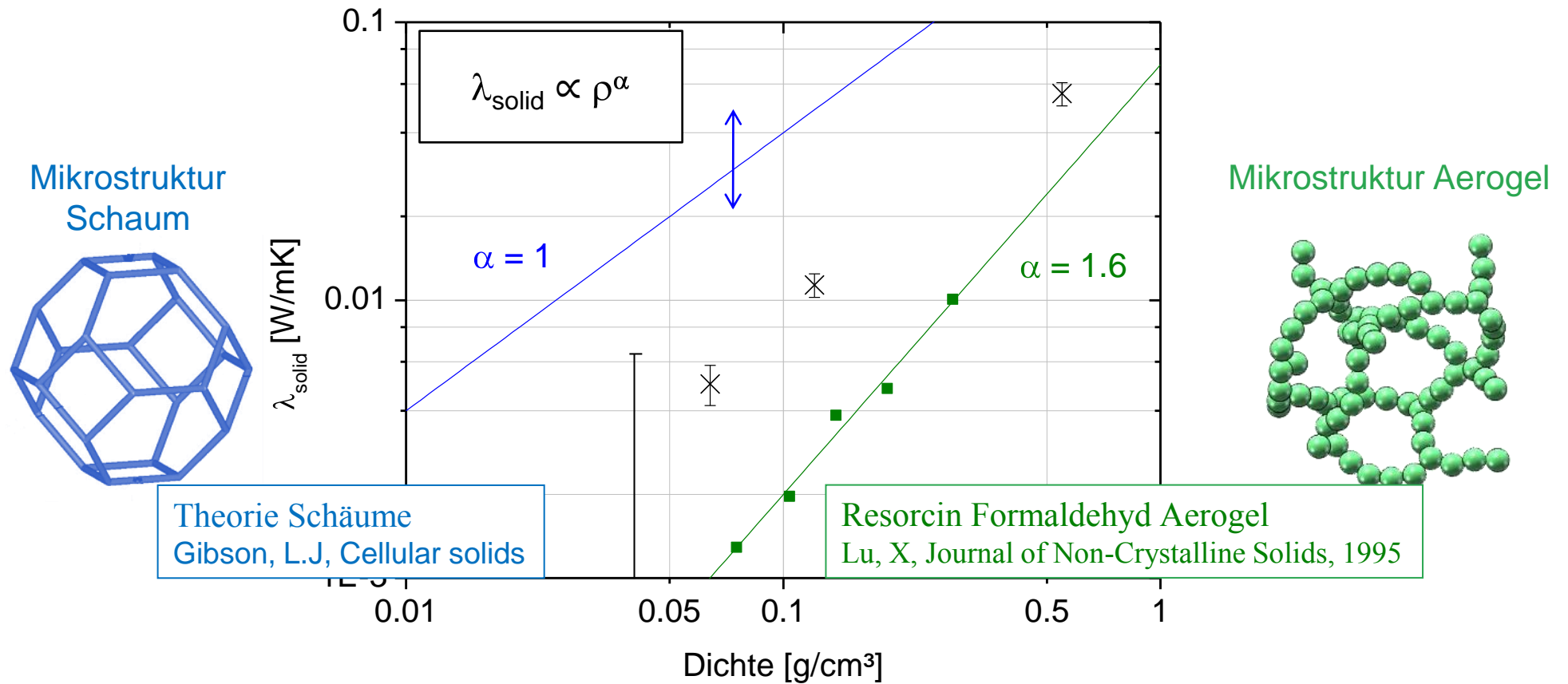
Bayerisches Zentrum
für Angewandte
Energieforschung



FESTKÖRPERWÄRMELEITUNG



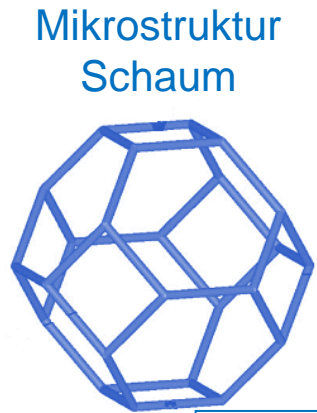
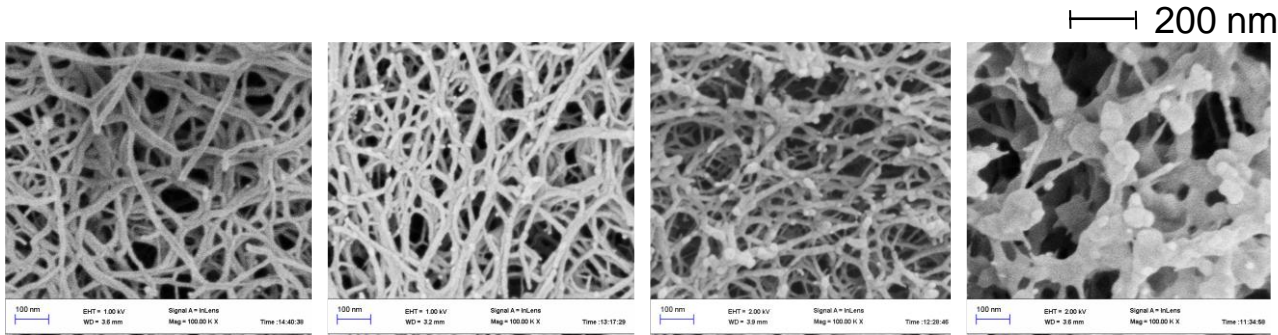
ZAE BAYERN
Bayerisches Zentrum
für Angewandte
Energieforschung



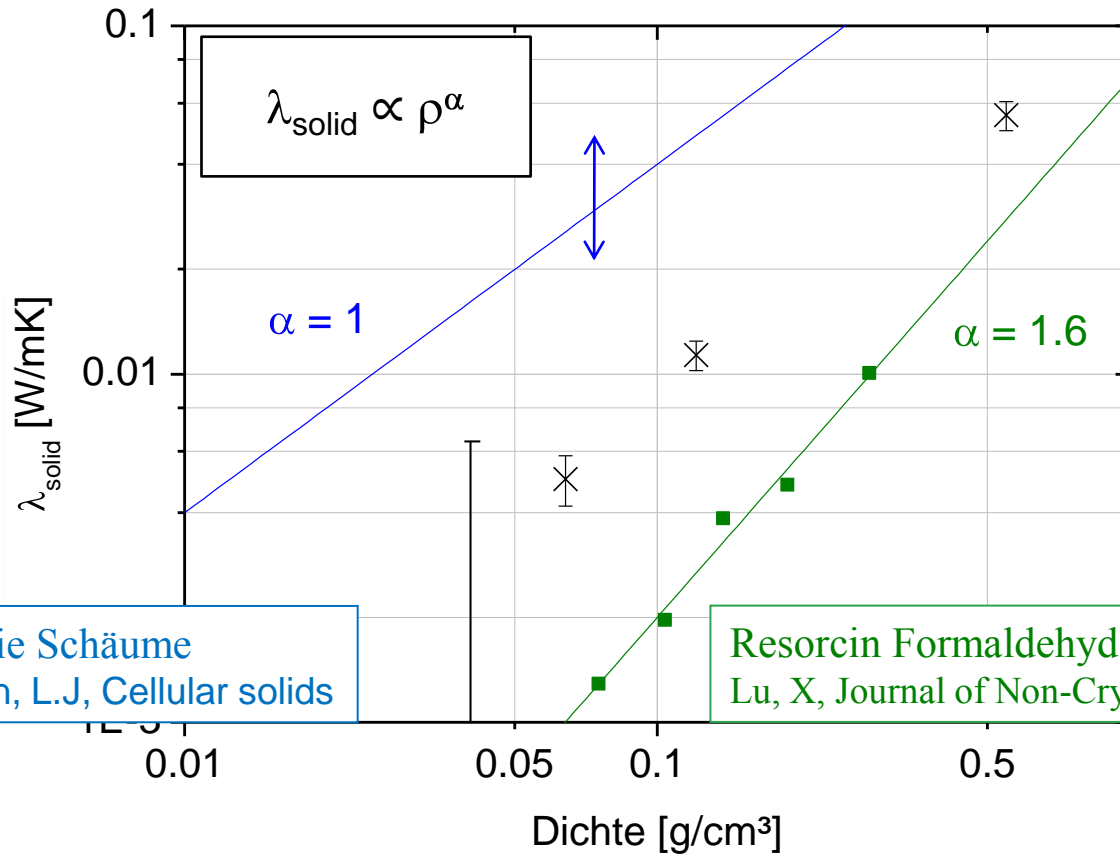
FESTKÖRPERWÄRMELEITUNG



ZAE BAYERN
Bayerisches Zentrum
für Angewandte
Energieforschung



Theorie Schäume
Gibson, L.J, Cellular solids



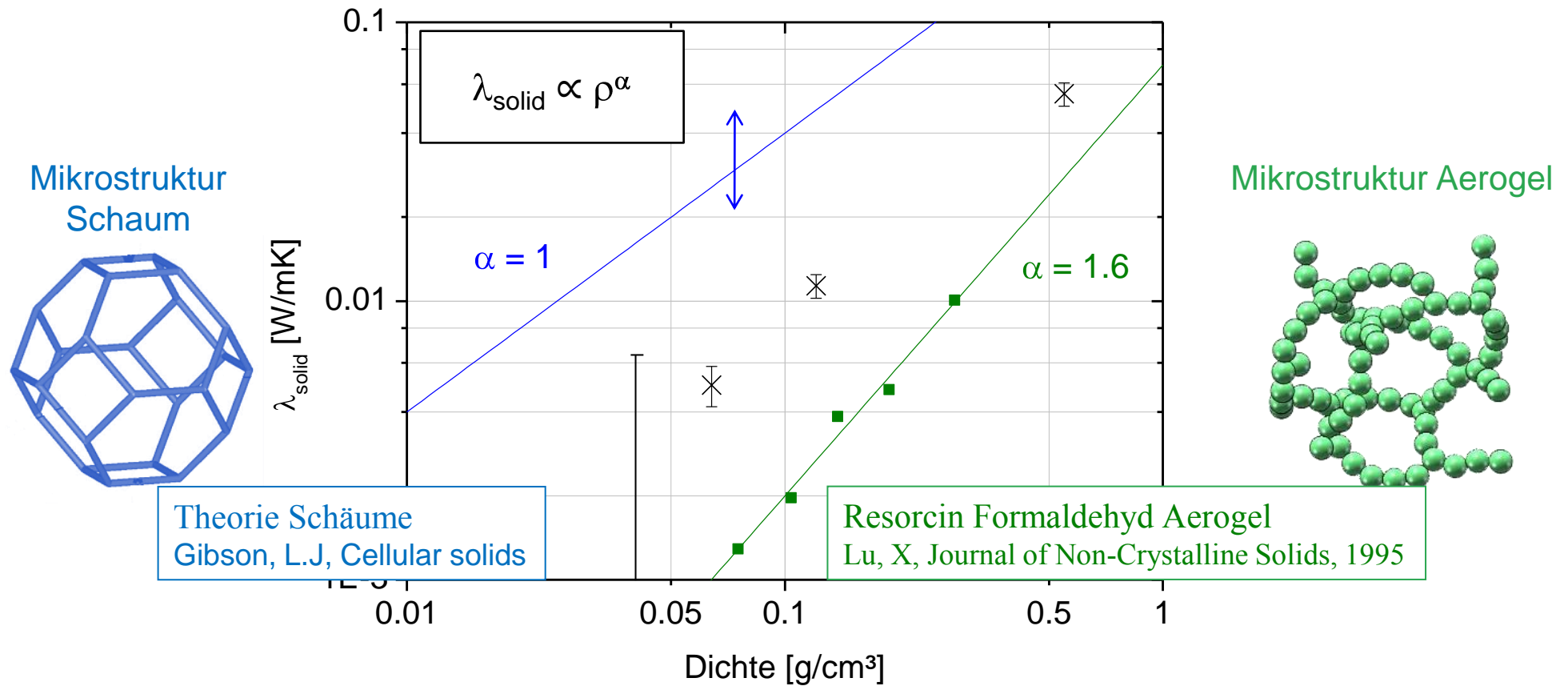
Resorcin Formaldehyd Aerogel
Lu, X, Journal of Non-Crystalline Solids, 1995

FESTKÖRPERWÄRMELEITUNG



ZAE BAYERN
Bayerisches Zentrum
für Angewandte
Energieforschung

Angabe von Festkörpermateriale und Dichte ρ
→ unzureichend zur Bestimmung von λ_{solid}



KORRELATION



ZAE BAYERN

Bayerisches Zentrum
für Angewandte
Energieforschung

KORRELATION: λ_{solid} UND STEIFIGKEIT



ZAE BAYERN

Bayerisches Zentrum
für Angewandte
Energieforschung

KORRELATION: λ_{solid} UND STEIFIGKEIT



ZAE BAYERN

Bayerisches Zentrum
für Angewandte
Energieforschung

Annahme: λ_{solid} und Steifigkeit hängen gleichermaßen von der Mikrostruktur poröser Materialien ab

KORRELATION: λ_{solid} UND STEIFIGKEIT



ZAE BAYERN
Bayerisches Zentrum
für Angewandte
Energieforschung

Annahme: λ_{solid} und Steifigkeit hängen gleichermaßen von der Mikrostruktur poröser Materialien ab

Steifigkeit

E-Modul

→ Zugversuch

c_{11}

→ Ultraschallmethode

$$c_{11} = \rho v_1^2$$

ρ : Dichte [g/cm^3]

v_1 : Schallgeschwindigkeit [m/s]

KORRELATION: λ_{solid} UND STEIFIGKEIT



ZAE BAYERN
Bayerisches Zentrum
für Angewandte
Energieforschung

Annahme: λ_{solid} und Steifigkeit hängen gleichermaßen von der Mikrostruktur poröser Materialien ab

Steifigkeit

E-Modul

→ Zugversuch

C_{11}

→ Ultraschallmethode

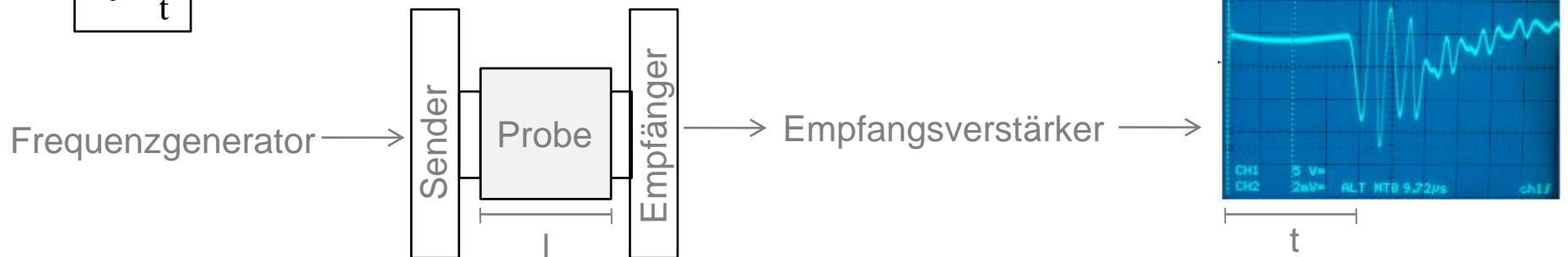
$$C_{11} = \rho v_1^2$$

ρ : Dichte [g/cm^3]

v_1 : Schallgeschwindigkeit [m/s]

Ultraschallmethode

$$v_1 = \frac{l}{t}$$



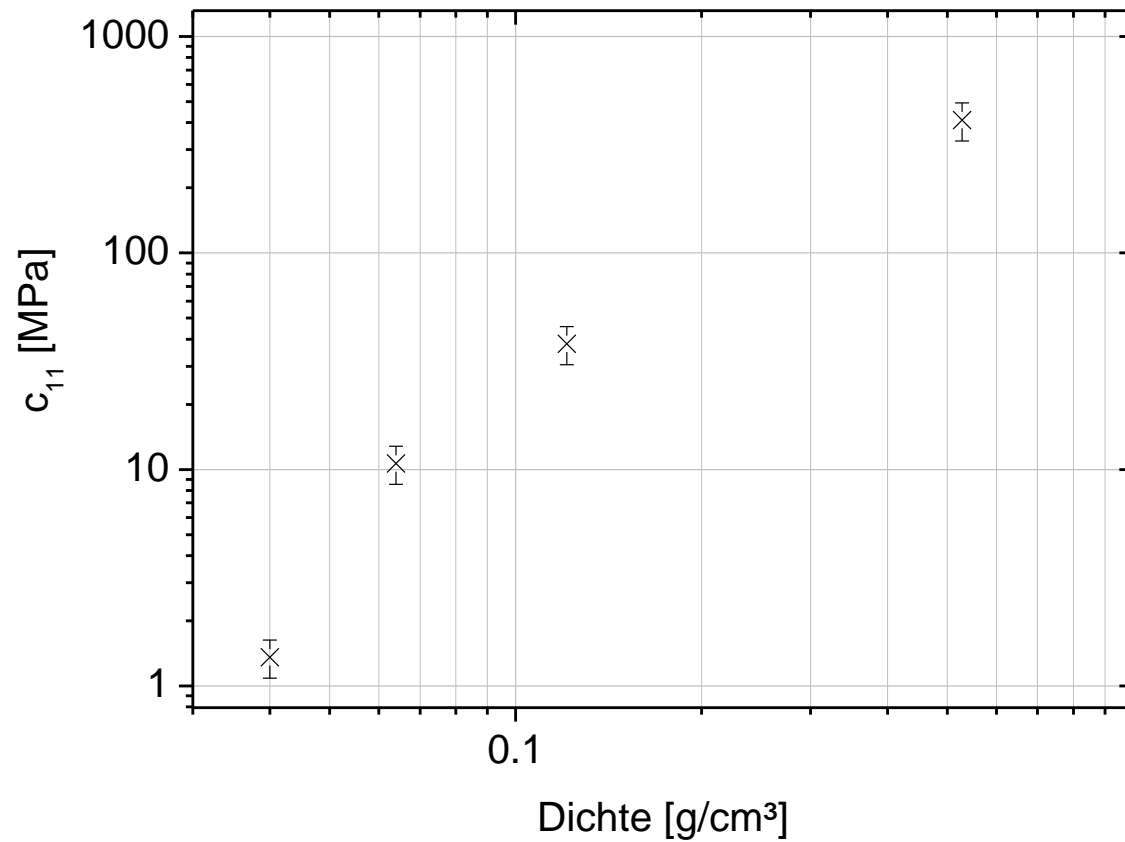
STEIFIGKEIT: c_{11}



ZAE BAYERN

Bayerisches Zentrum
für Angewandte
Energieforschung

c_{11} Messwerte PUA Aerogele



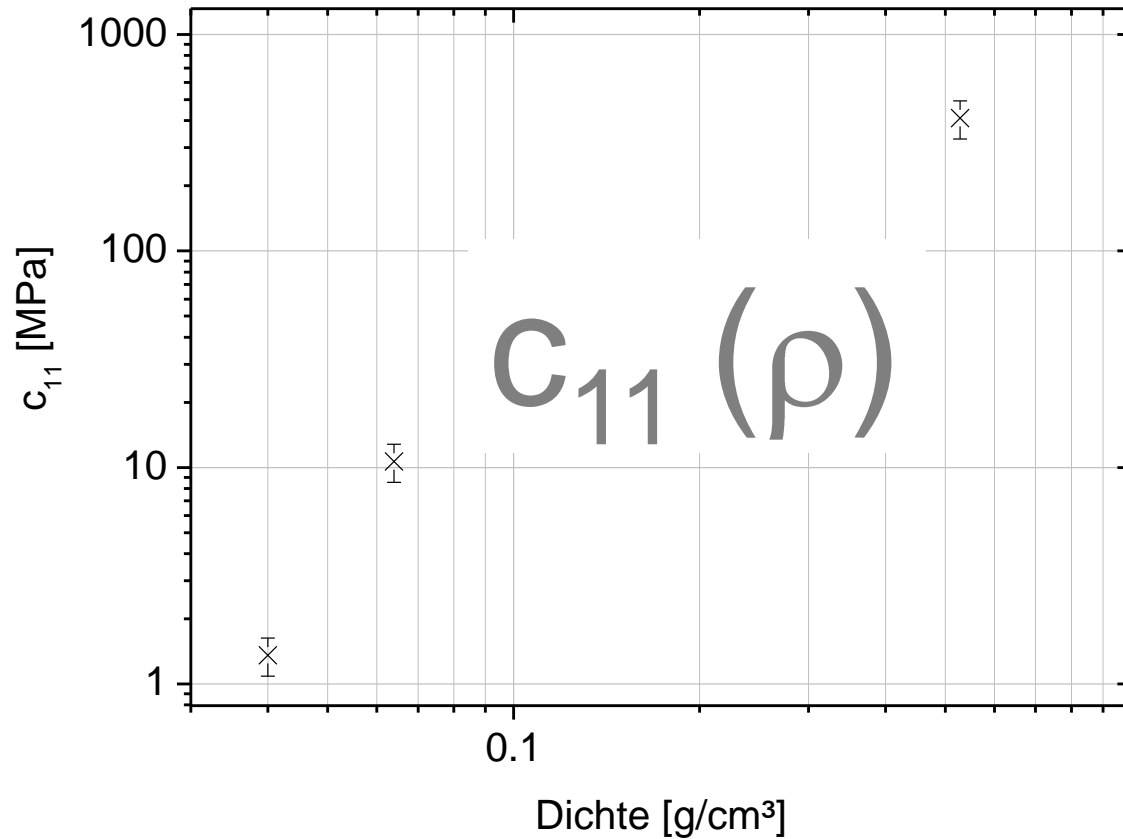
STEIFIGKEIT: c_{11}



ZAE BAYERN

Bayerisches Zentrum
für Angewandte
Energieforschung

c_{11} Messwerte PUA Aerogele

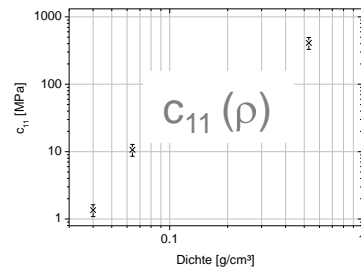


KORRELATION: c_{11} UND λ_{solid}



ZAE BAYERN

Bayerisches Zentrum
für Angewandte
Energieforschung

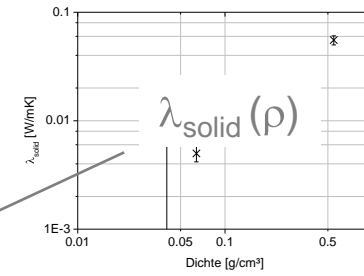
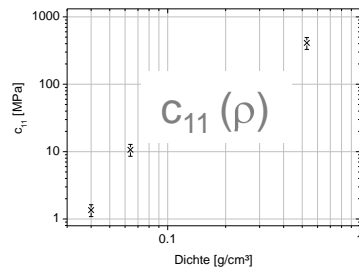


KORRELATION: c_{11} UND λ_{solid}



ZAE BAYERN

Bayerisches Zentrum
für Angewandte
Energieforschung



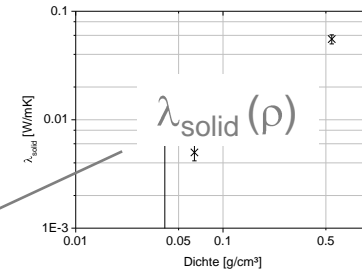
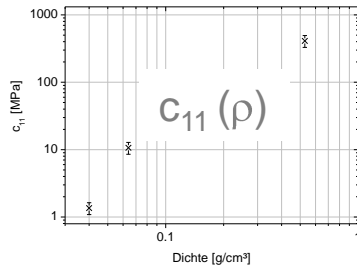
$c_{11} (\lambda_{\text{solid}})$

KORRELATION: c_{11} UND λ_{solid}

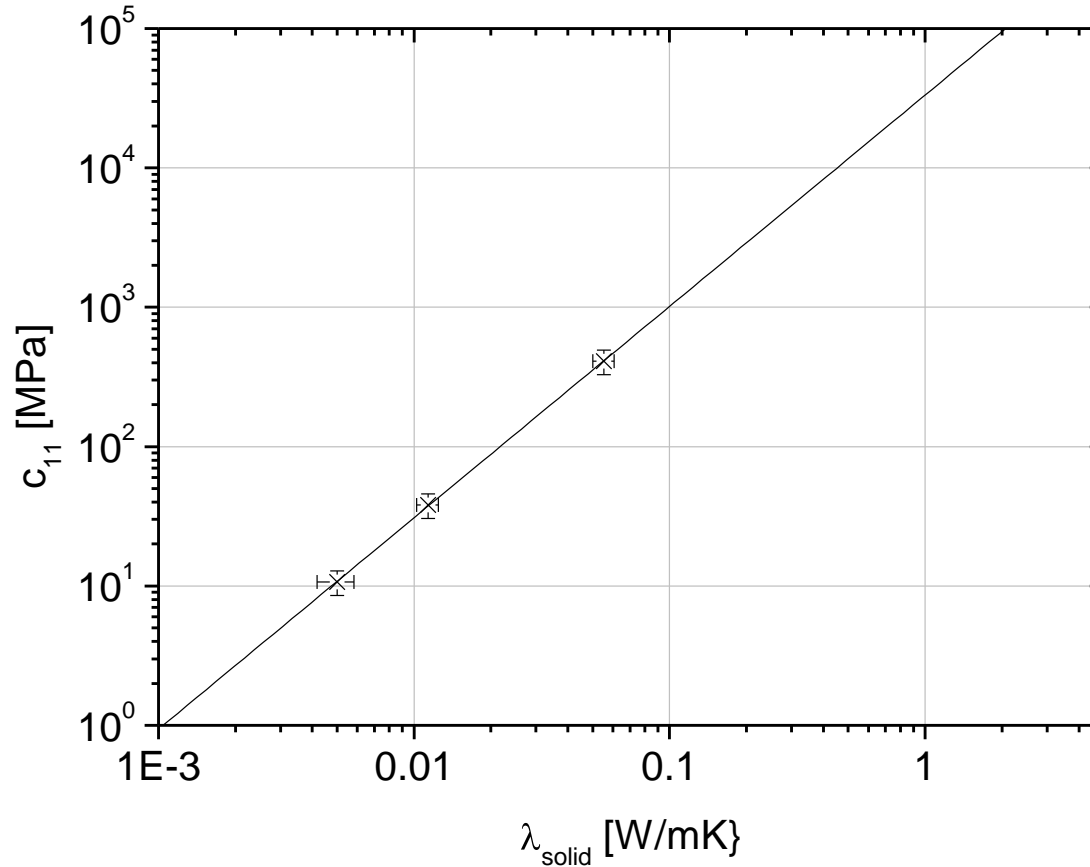


ZAE BAYERN

Bayerisches Zentrum
für Angewandte
Energieforschung



$c_{11}(\lambda_{\text{solid}})$

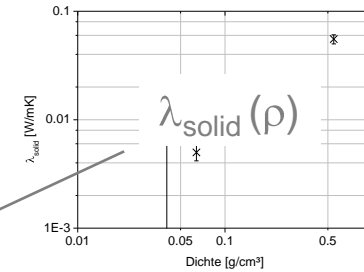
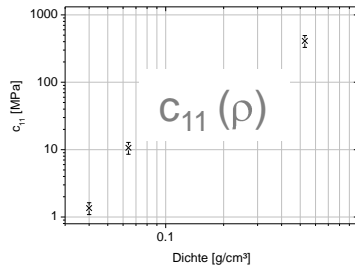


KORRELATION: c_{11} UND λ_{solid}

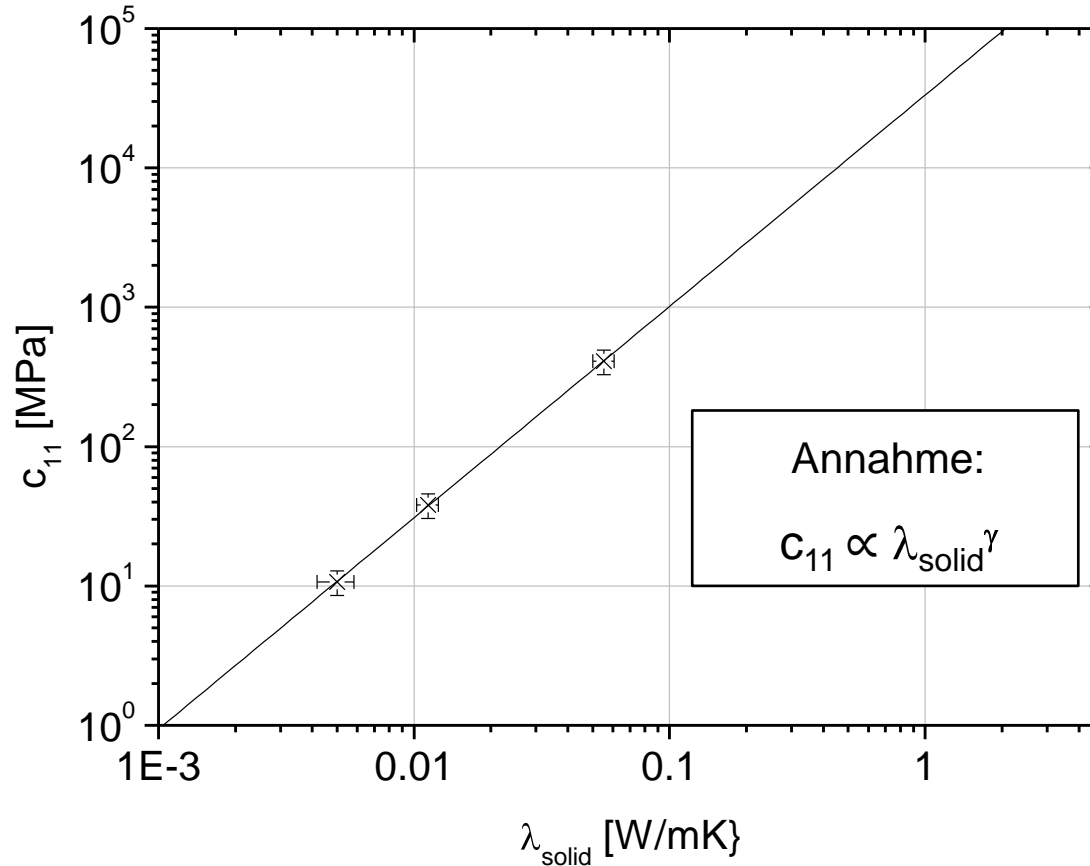


ZAE BAYERN

Bayerisches Zentrum
für Angewandte
Energieforschung



$c_{11}(\lambda_{\text{solid}})$

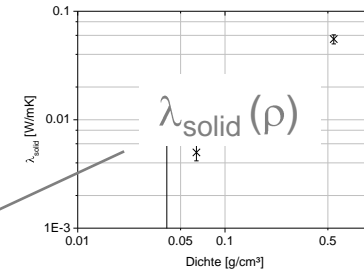
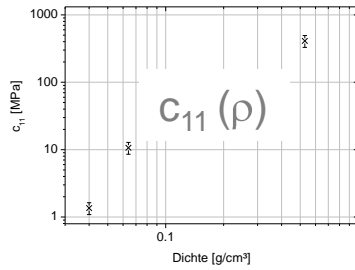


KORRELATION: c_{11} UND λ_{solid}

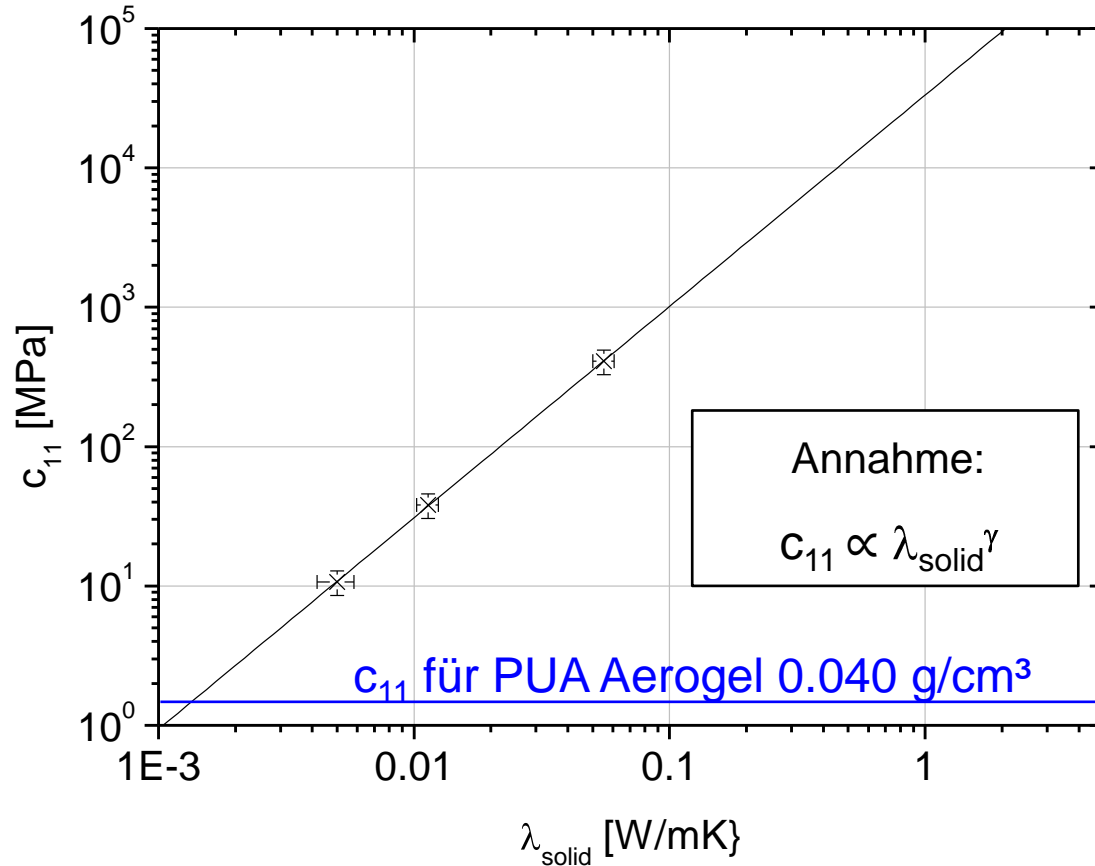


ZAE BAYERN

Bayerisches Zentrum
für Angewandte
Energieforschung



$c_{11}(\lambda_{\text{solid}})$

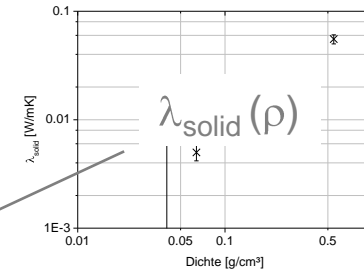
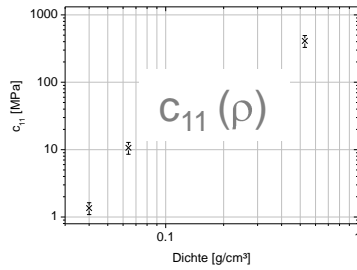


KORRELATION: c_{11} UND λ_{solid}

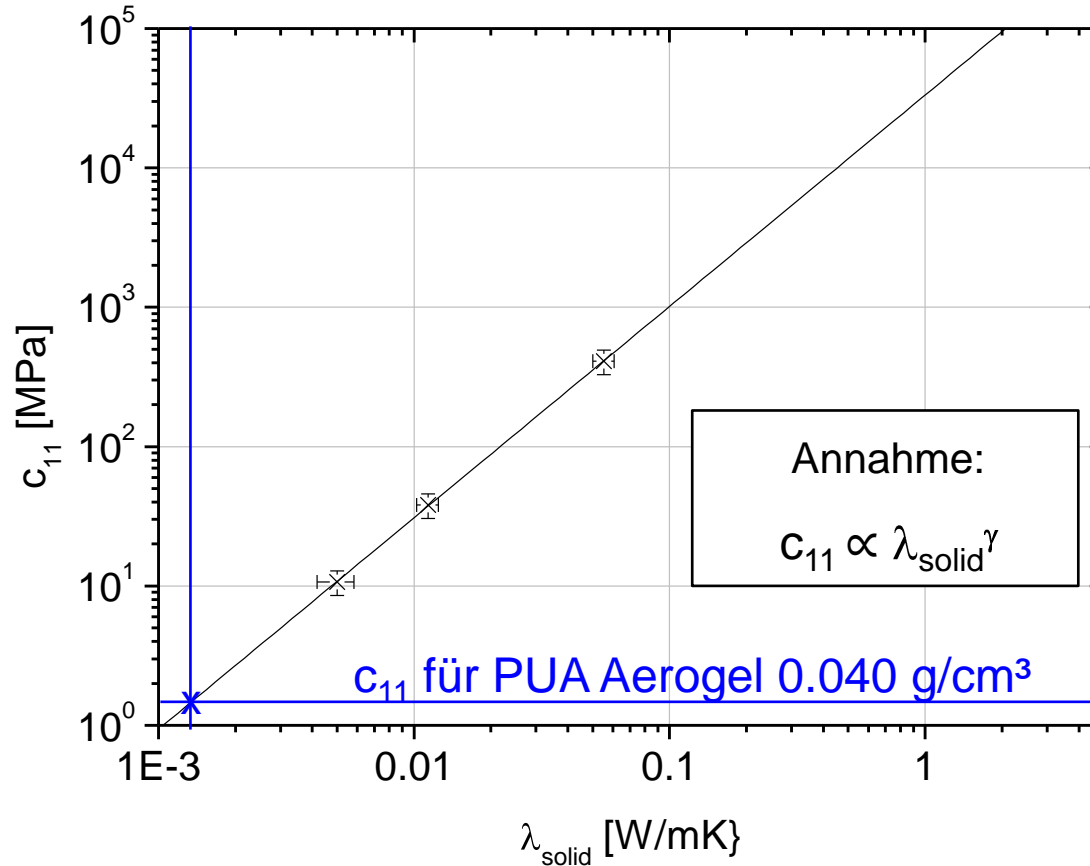


ZAE BAYERN

Bayerisches Zentrum
für Angewandte
Energieforschung



$c_{11}(\lambda_{\text{solid}})$

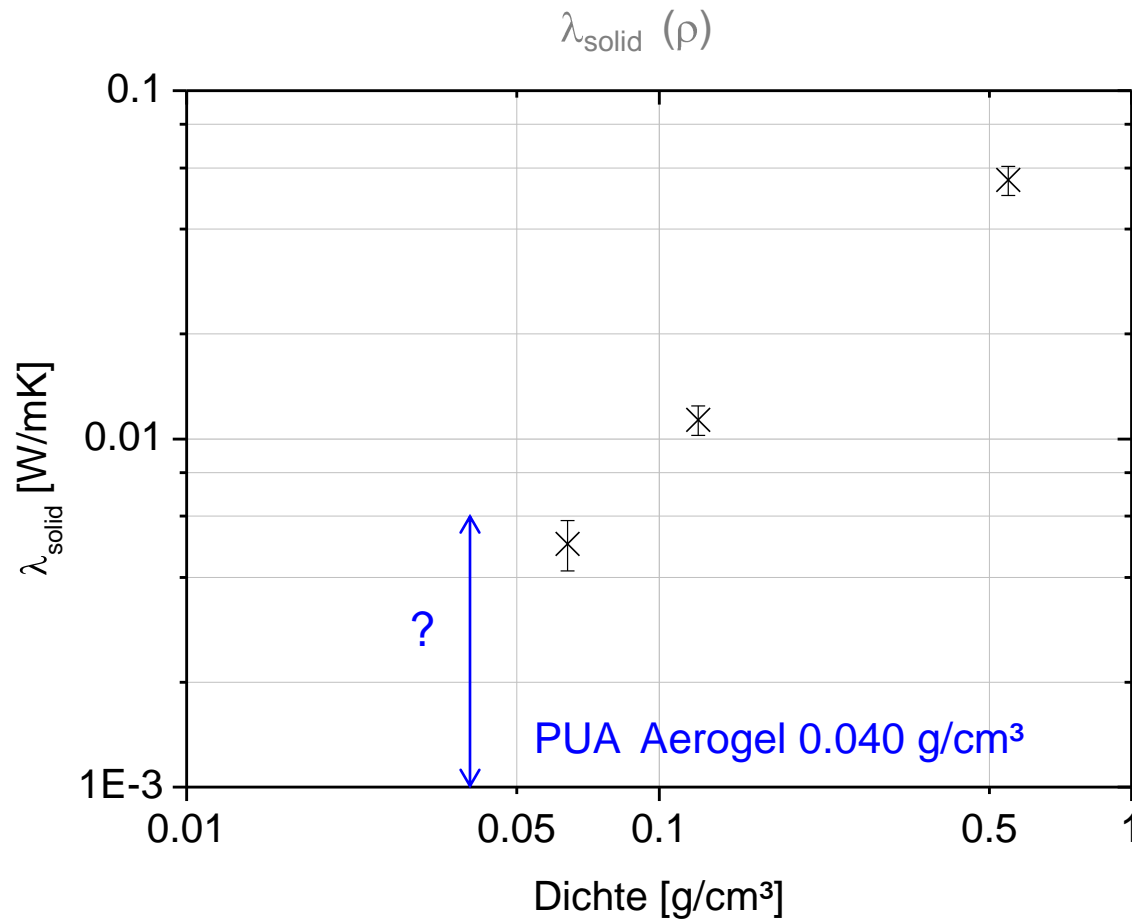


FESTKÖRPERWÄRMELEITUNG



ZAE BAYERN

Bayerisches Zentrum
für Angewandte
Energieforschung

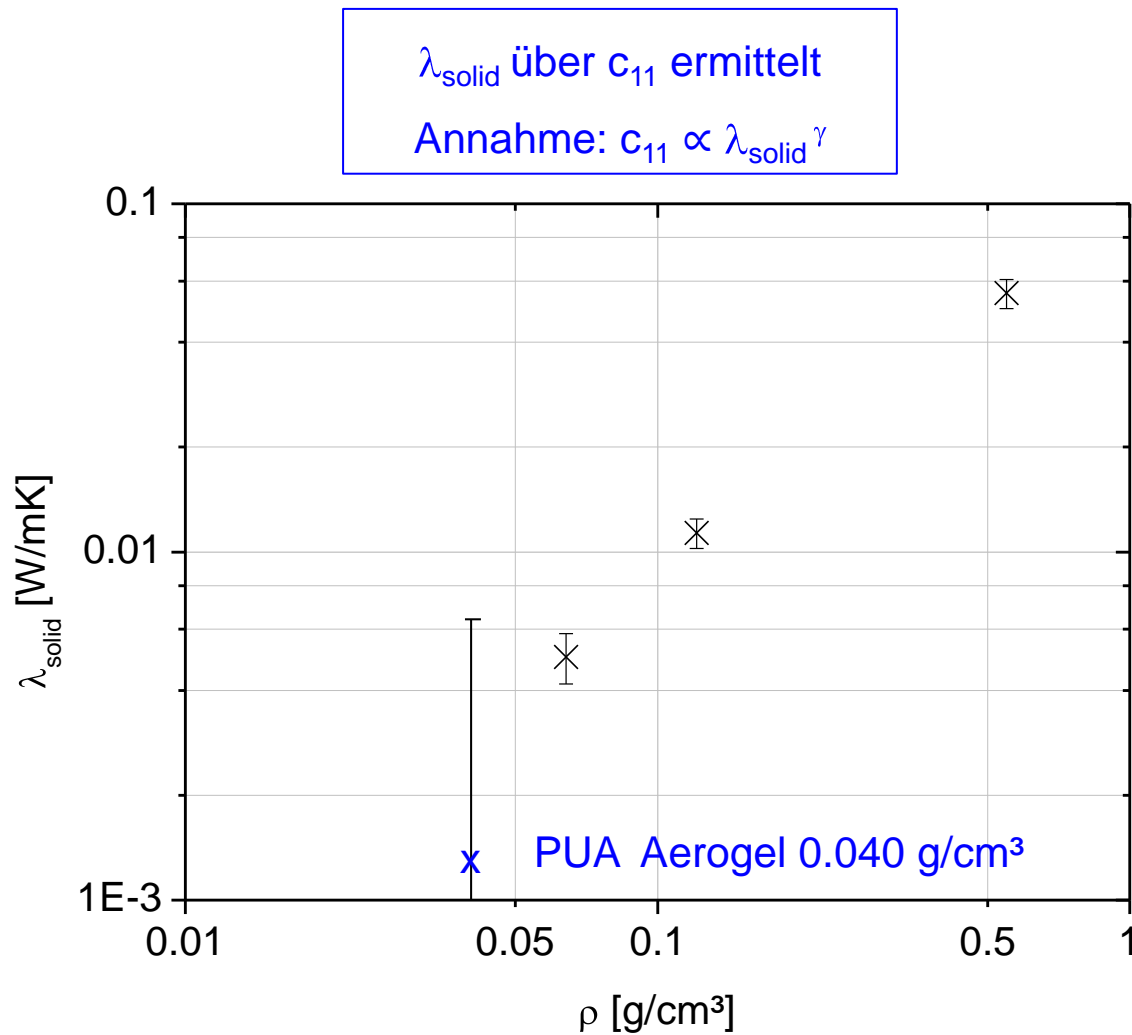


FESTKÖRPERWÄRMELEITUNG



ZAE BAYERN

Bayerisches Zentrum
für Angewandte
Energieforschung



ZUSAMMENFASSUNG UND AUSBLICK

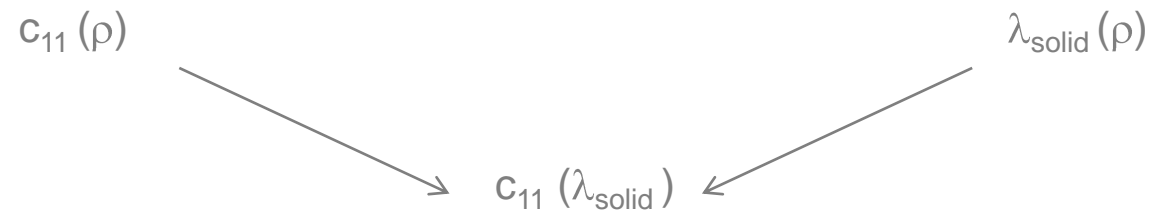


ZAE BAYERN

Bayerisches Zentrum
für Angewandte
Energieforschung

ZUSAMMENFASSUNG UND AUSBLICK

Korrelation λ_{solid} und Steifigkeit hängen gleichermaßen von der Mikrostruktur poröser Materialien ab



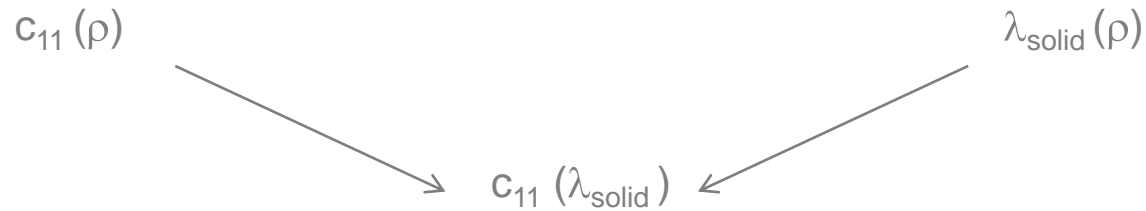
ZUSAMMENFASSUNG UND AUSBLICK



ZAE BAYERN

Bayerisches Zentrum
für Angewandte
Energieforschung

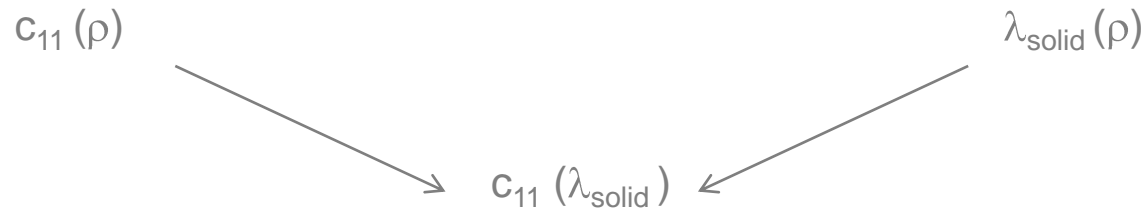
Korrelation λ_{solid} und Steifigkeit hängen gleichermaßen von der Mikrostruktur poröser Materialien ab



PUA Aerogele Bestimmung von λ_{solid} durch Messung von c_{11}

ZUSAMMENFASSUNG UND AUSBLICK

Korrelation λ_{solid} und Steifigkeit hängen gleichermaßen von der Mikrostruktur poröser Materialien ab



PUA Aerogele Bestimmung von λ_{solid} durch Messung von c_{11}

Ausblick

Physikalischer Zusammenhang zwischen λ_{solid} und Steifigkeit

Mathematische Formulierung der Korrelation

VIELEN DANK

Kontakt: weigold@zae.uni-wuerzburg.de

MIT SONNE UND VERSTAND.

© ZAE Bayern • AK Thermophysik • Lena Weigold • 3./4. Mai 2012



ZAE BAYERN

Bayerisches Zentrum
für Angewandte
Energieforschung